

# **Prática de Física dos Dispositivos Eletrônicos**

**FGA0100**

## **Laboratório-8**

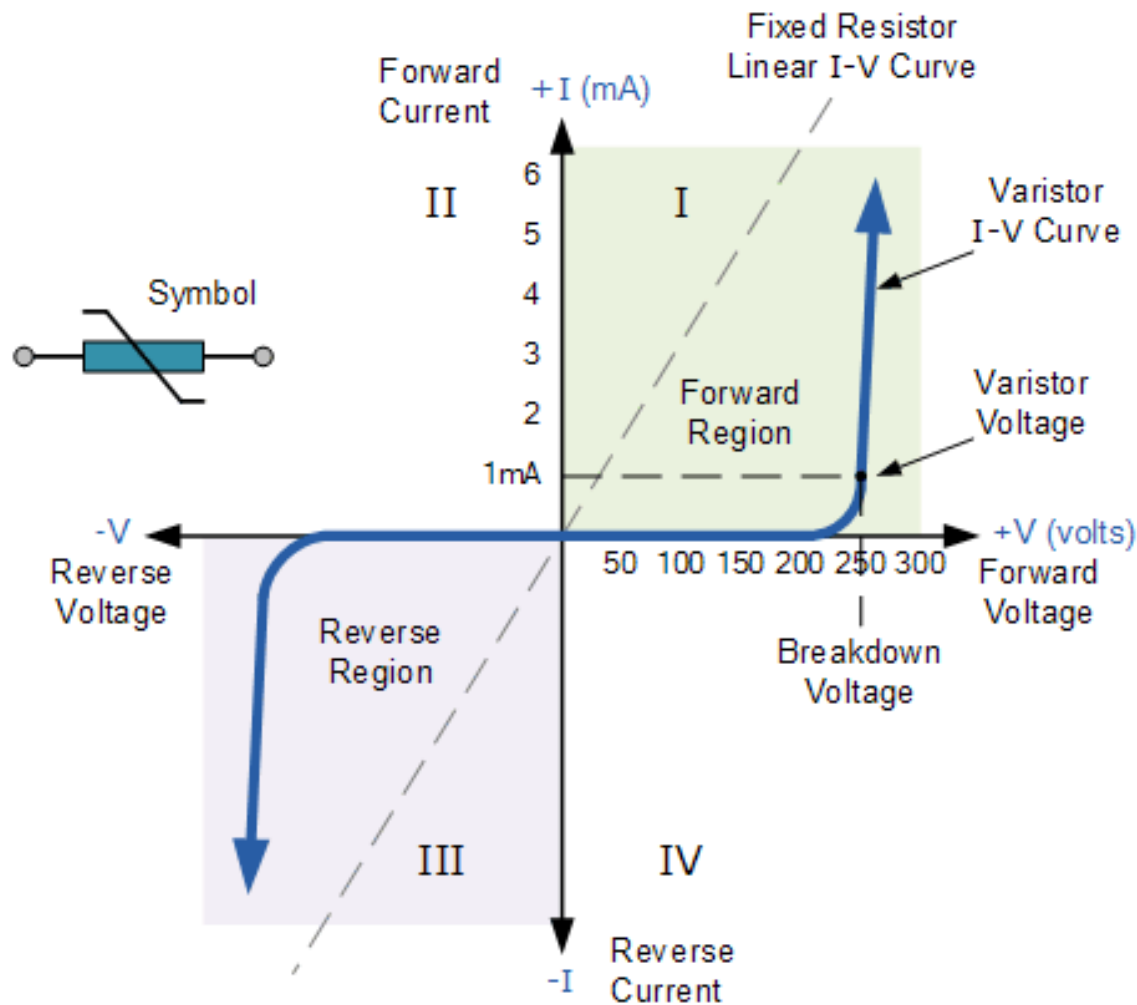
### **Diodos: Zener e Schottky**

**FGA**

**Universidade de Brasília**

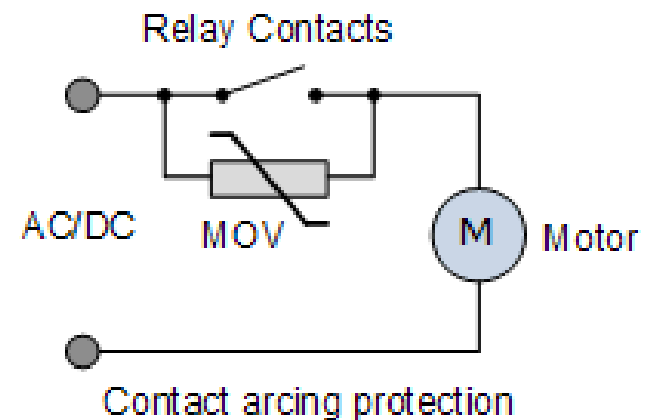
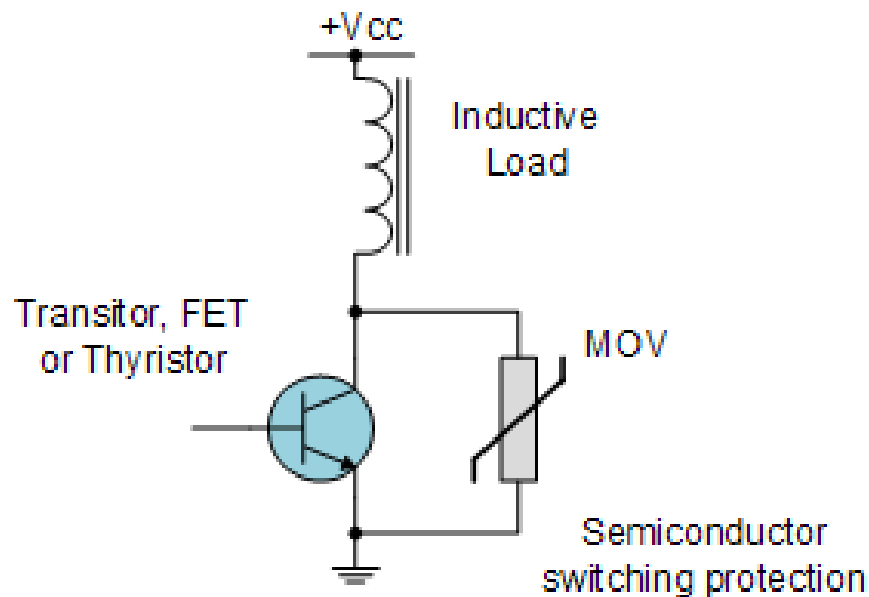
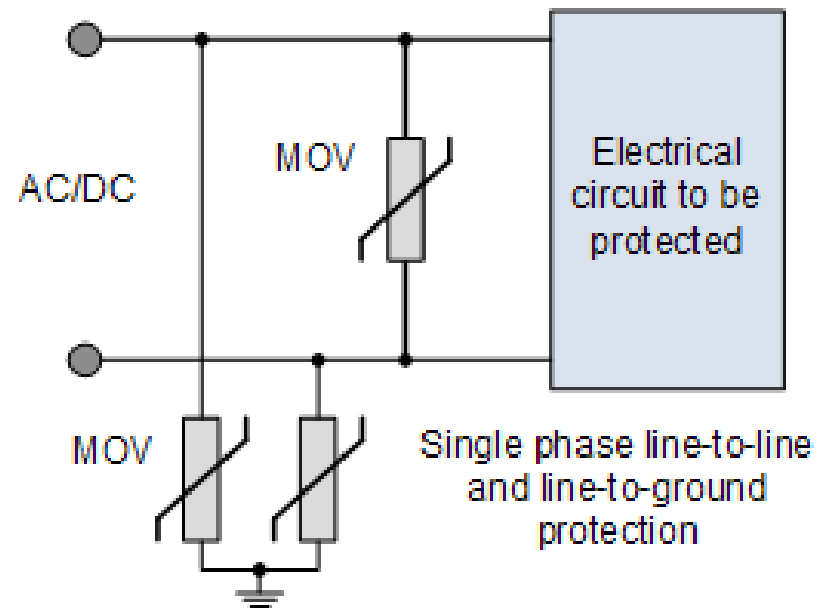
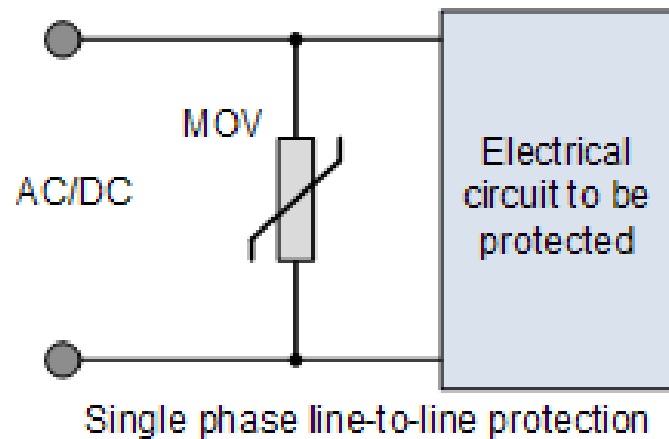


# Varistor



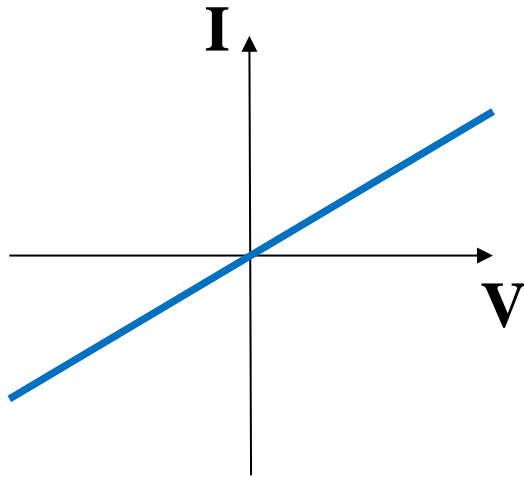
Type (untaped) SIOV-	Ordering code	$V_{RMS}$ V	$V_{DC}$ V	$I_{max}$ 8/20 $\mu$ s A	$W_{max}$ (2 ms) J	$P_{max}$ W
S07K75	B72207S0750K101	75	100	1200	5,9	0,25

# Varistor Applications

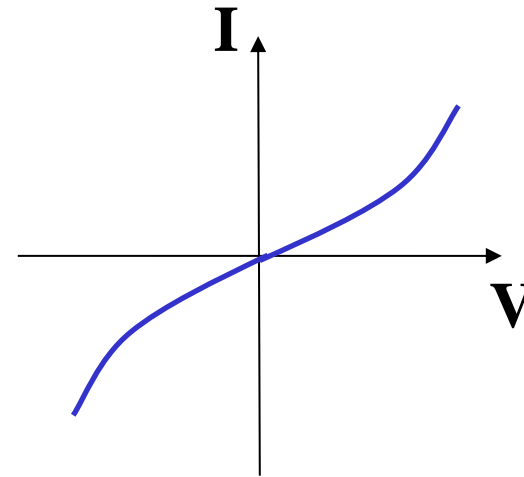


# Simetria em Curvas I x V

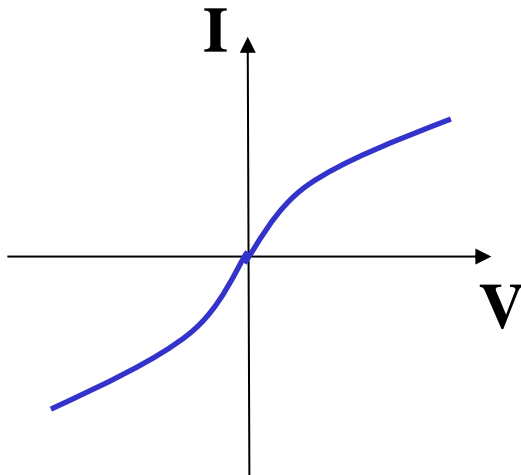
## Dispositivos de Dois Terminais



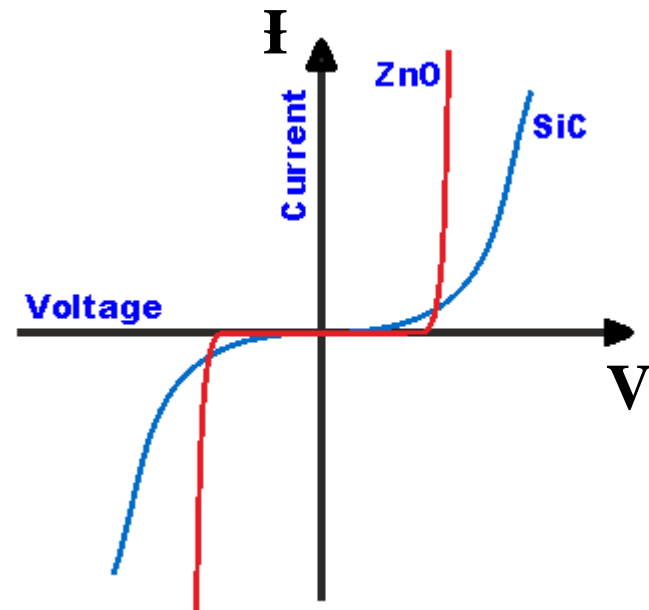
Resistor



Termistor NTC



Lâmpada de Filamento  
Termistor PTC

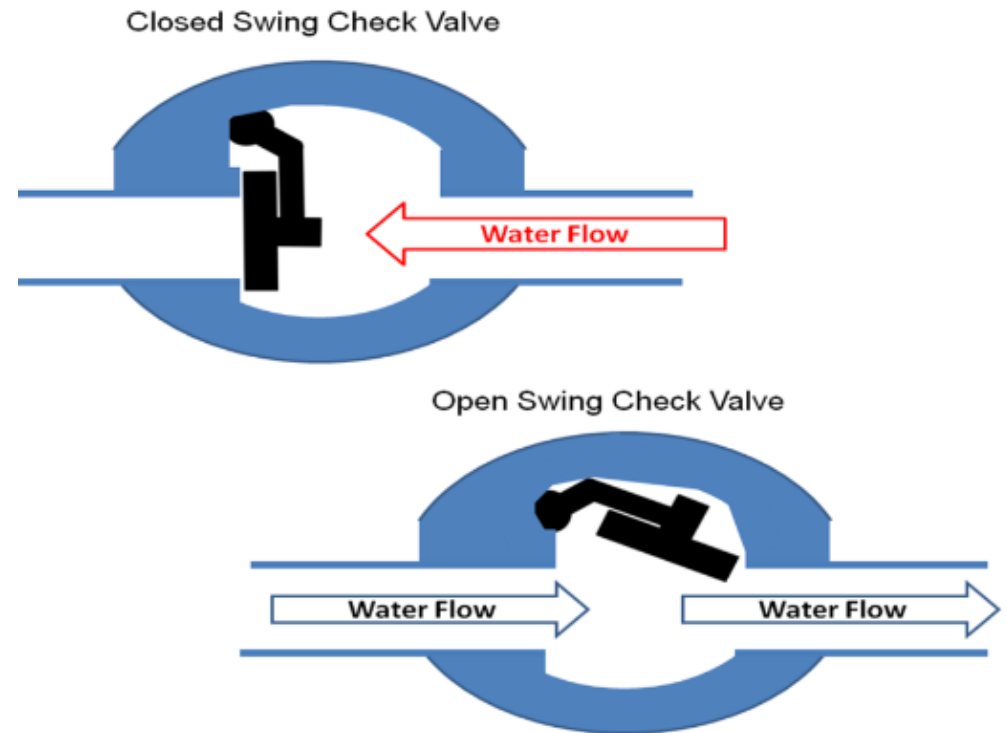
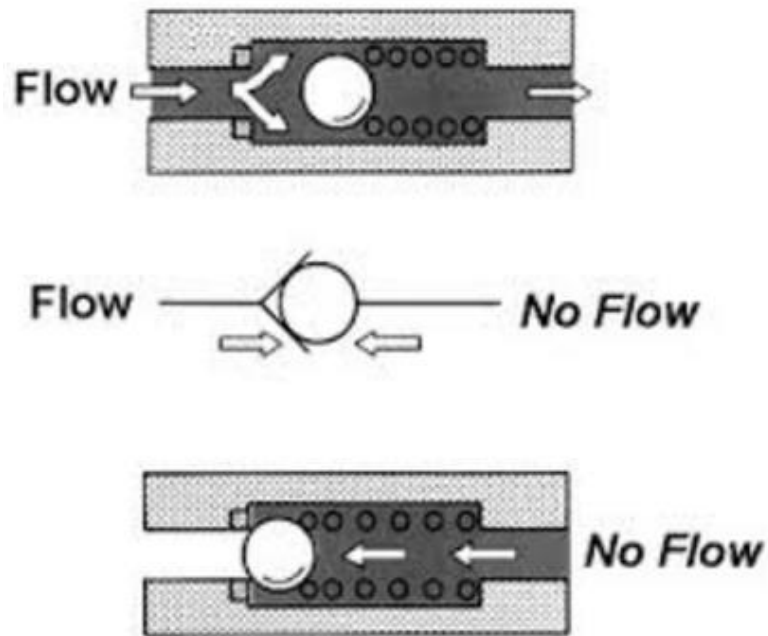


Varistor (Avalanche)



# Válvulas Direcionais

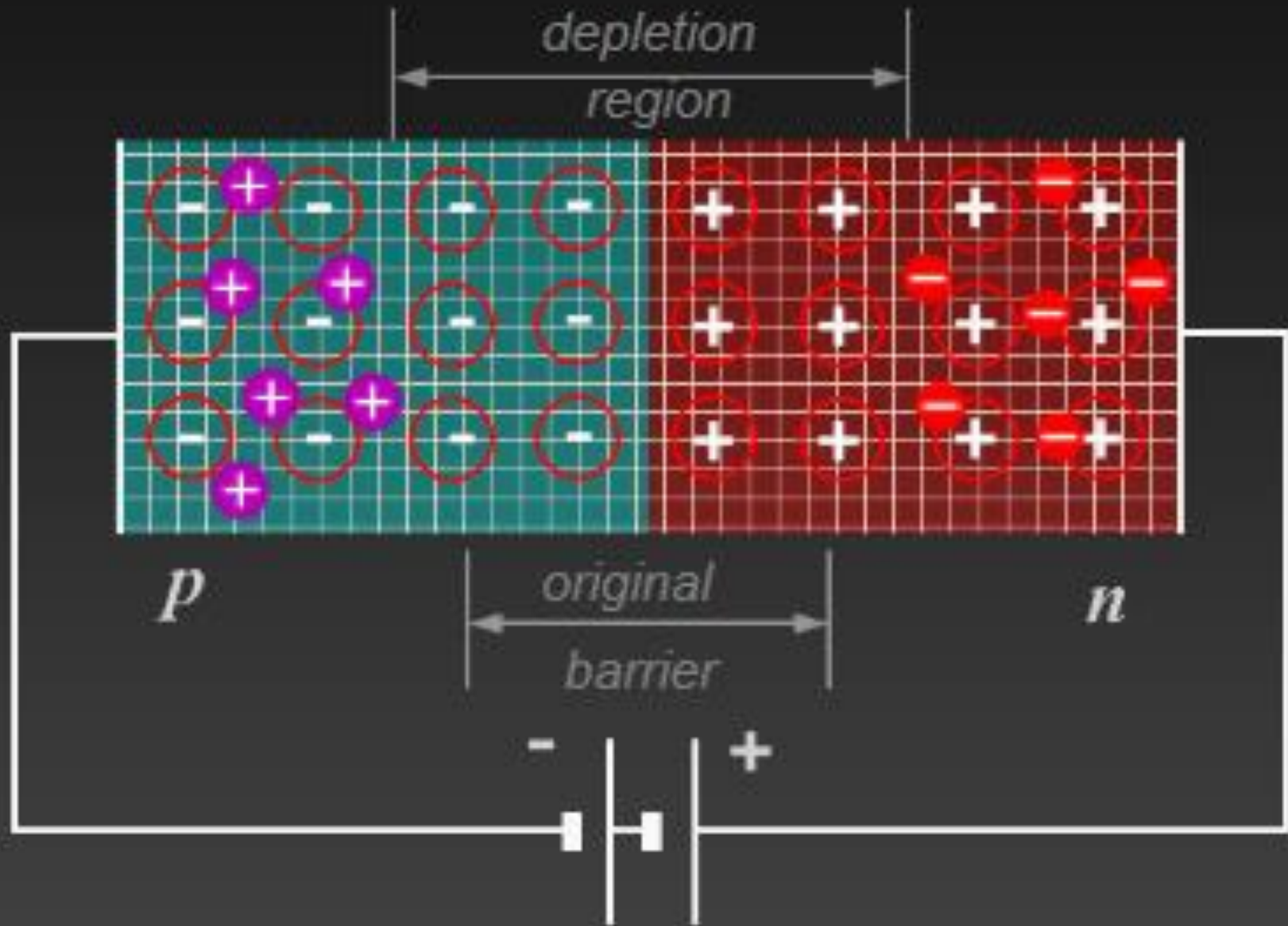
## Analogia Hidráulica



Existe equivalente elétrico?

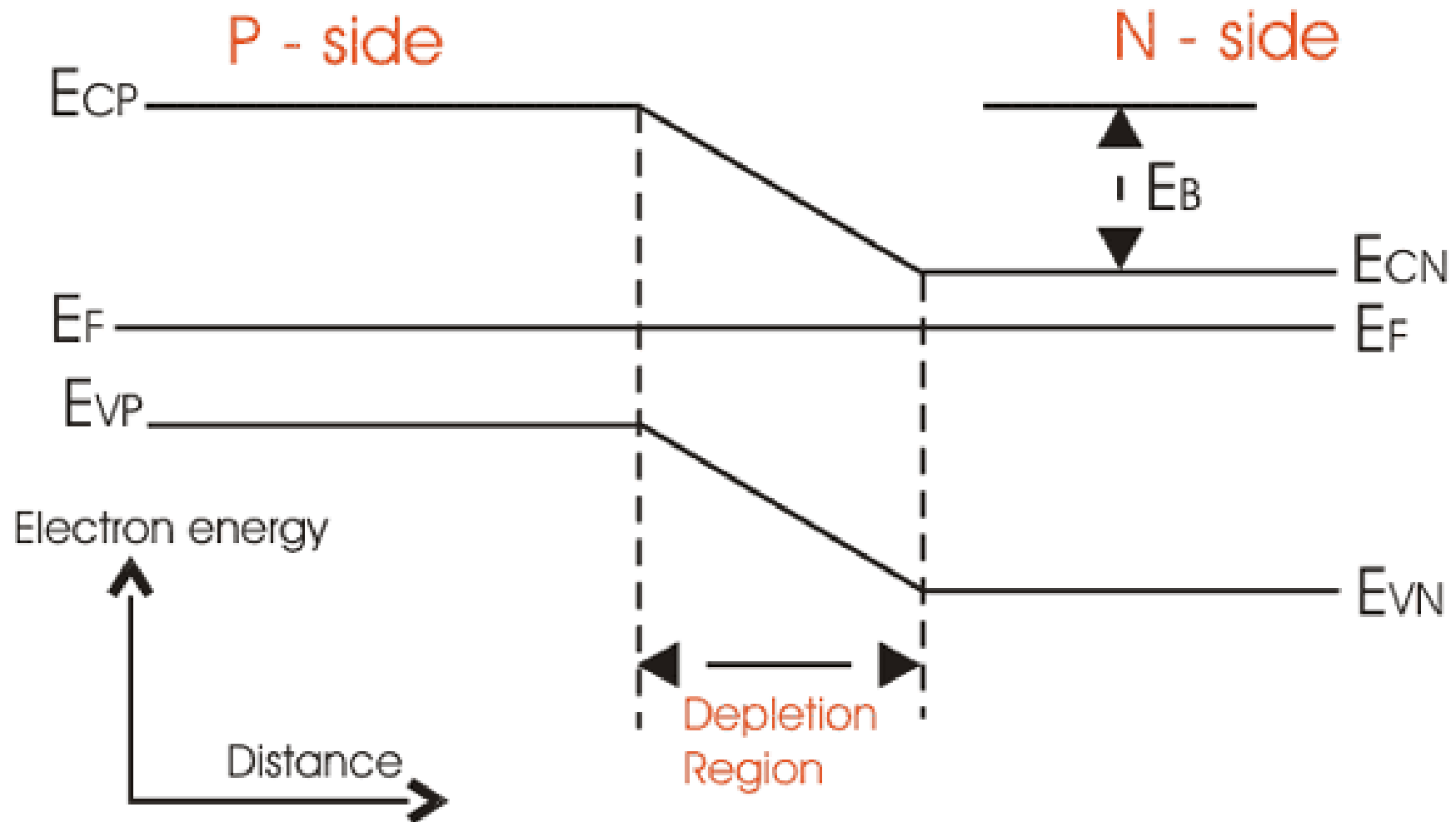


# Junção PN (Diodo)

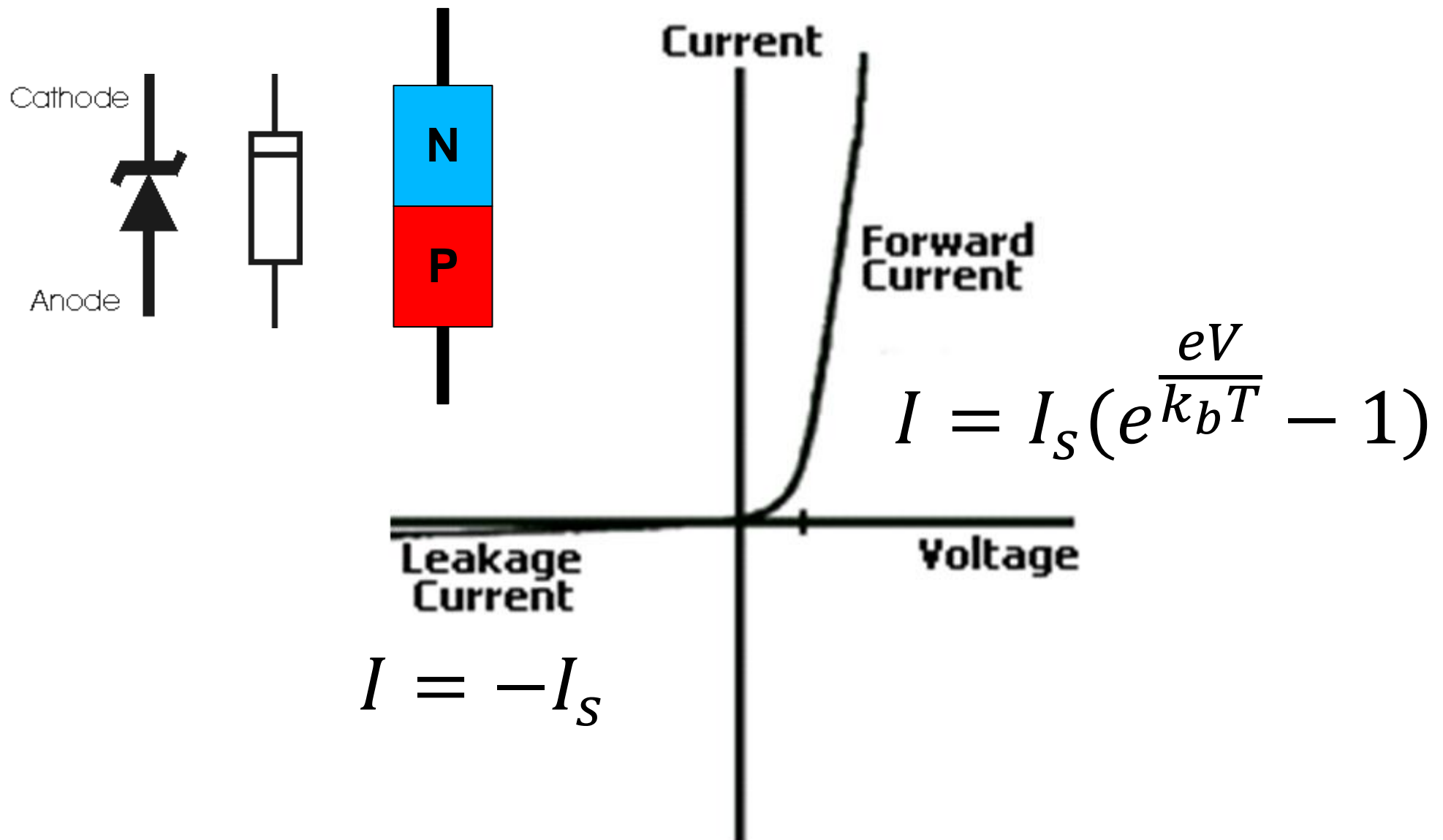


# Junção PN (Diodo)

## Estrutura de Bandas



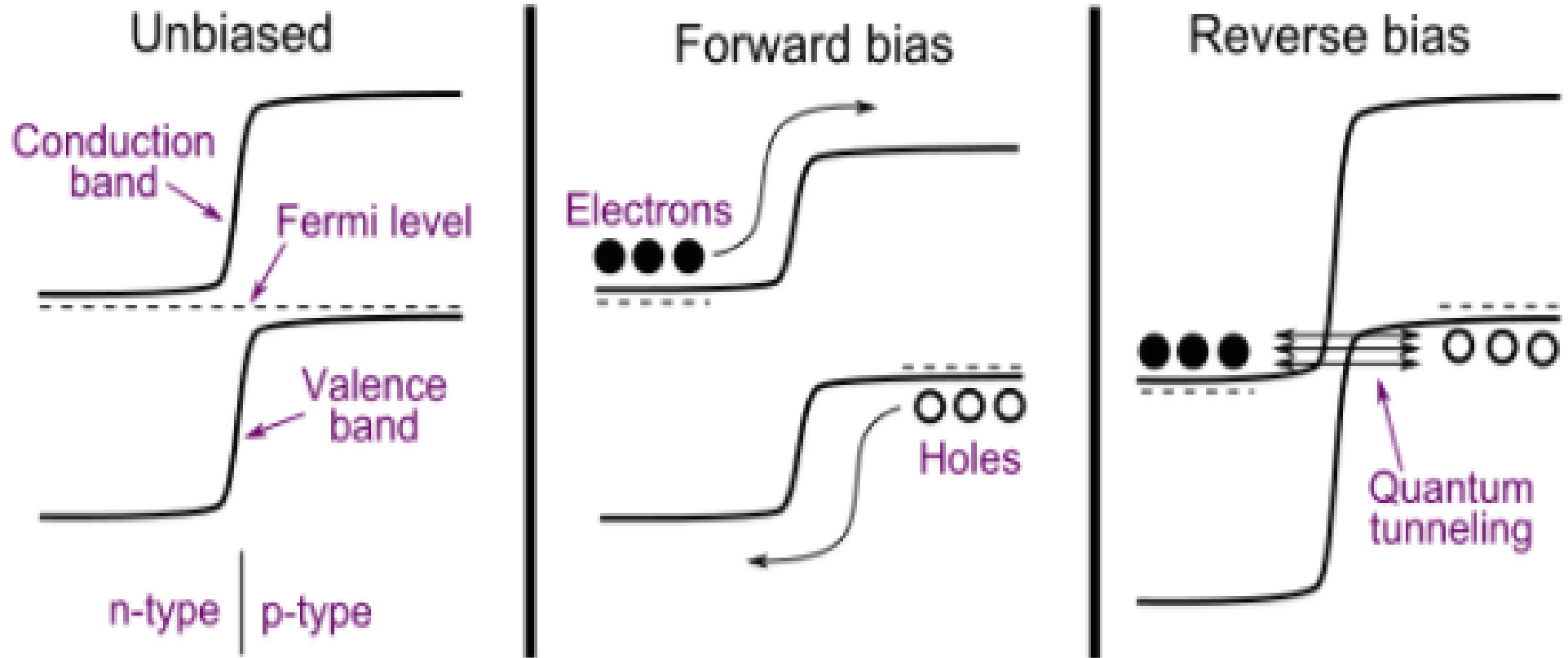
# Curva I x V do Diodo de Junção PN





# Diodo Zener

## Estrutura de Bandas vs. Polarização



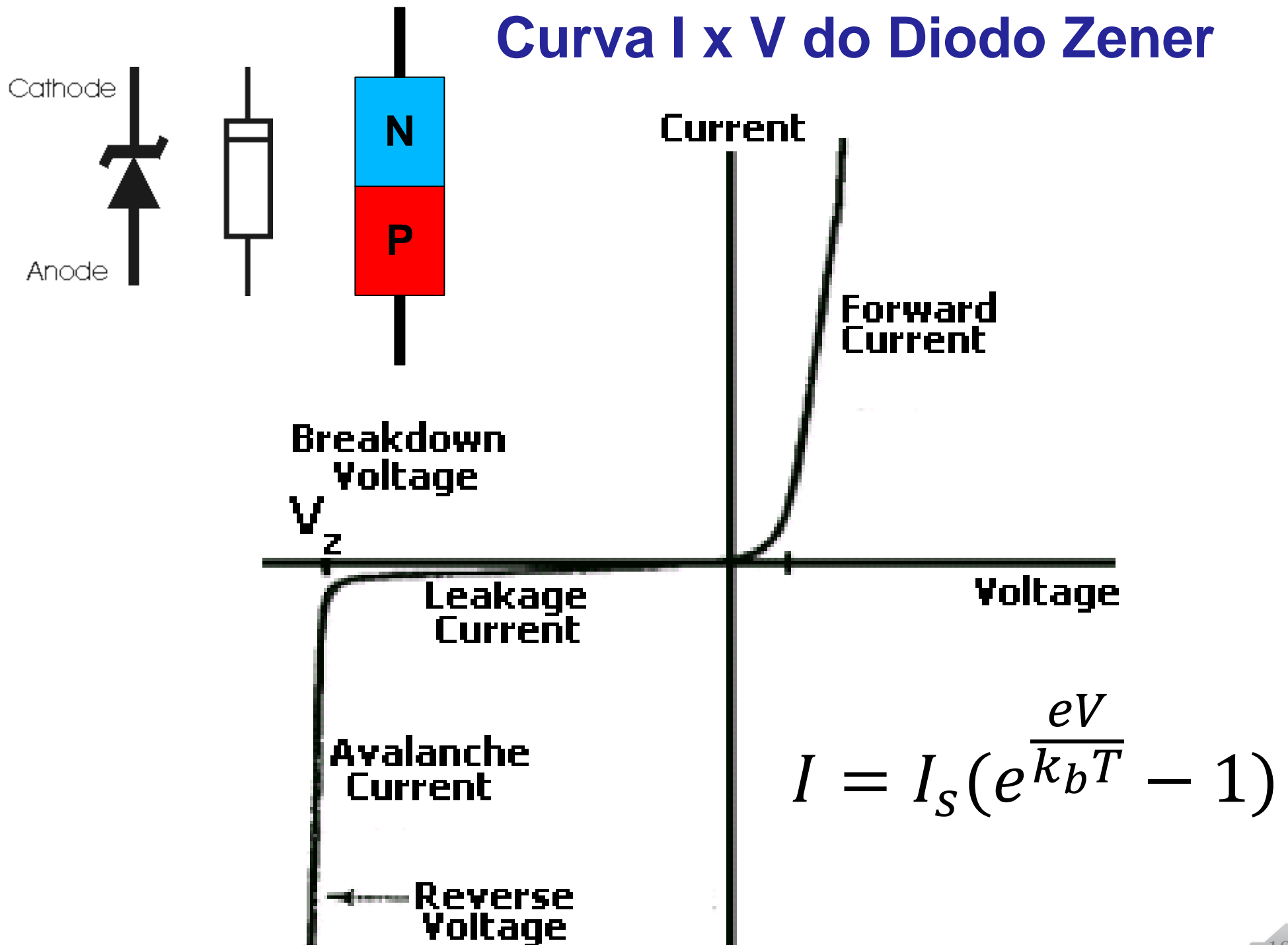
$$V = 0$$

$$V > 0$$

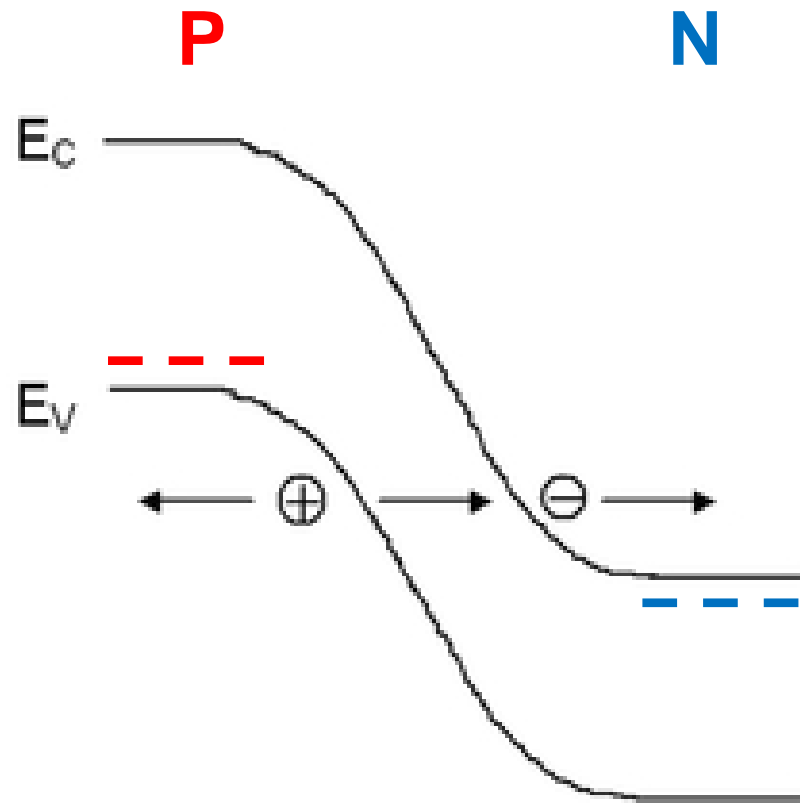
$$V < 0$$



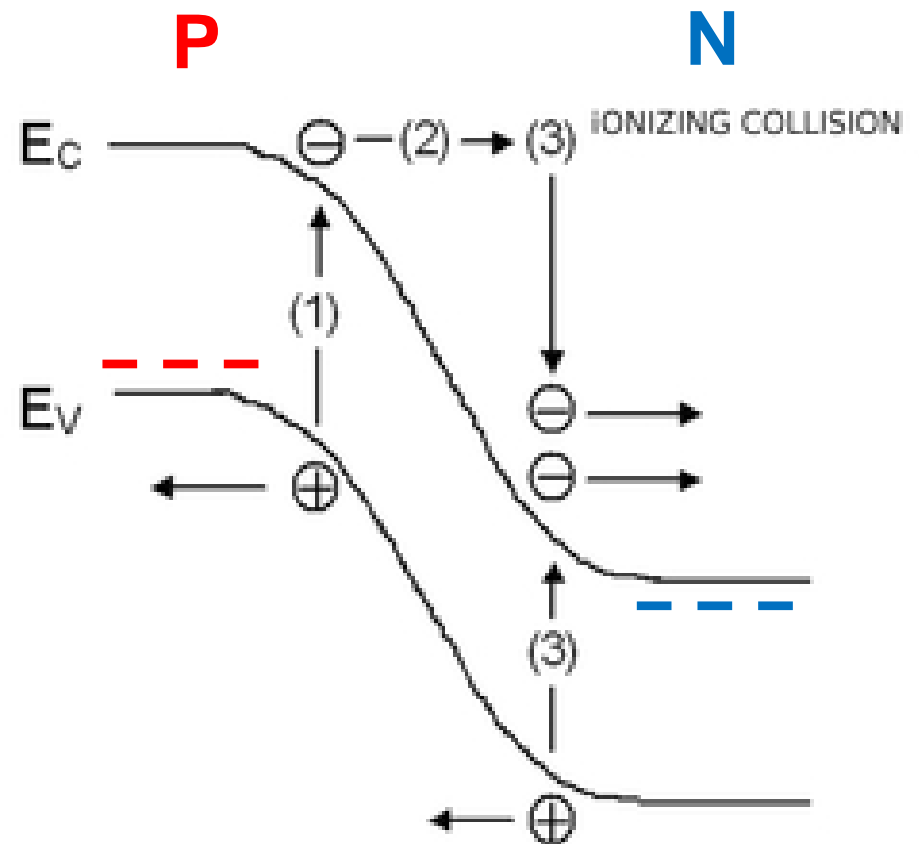
# Curva I x V do Diodo Zener



# Tunelamento e Avalanche



a) Tunneling

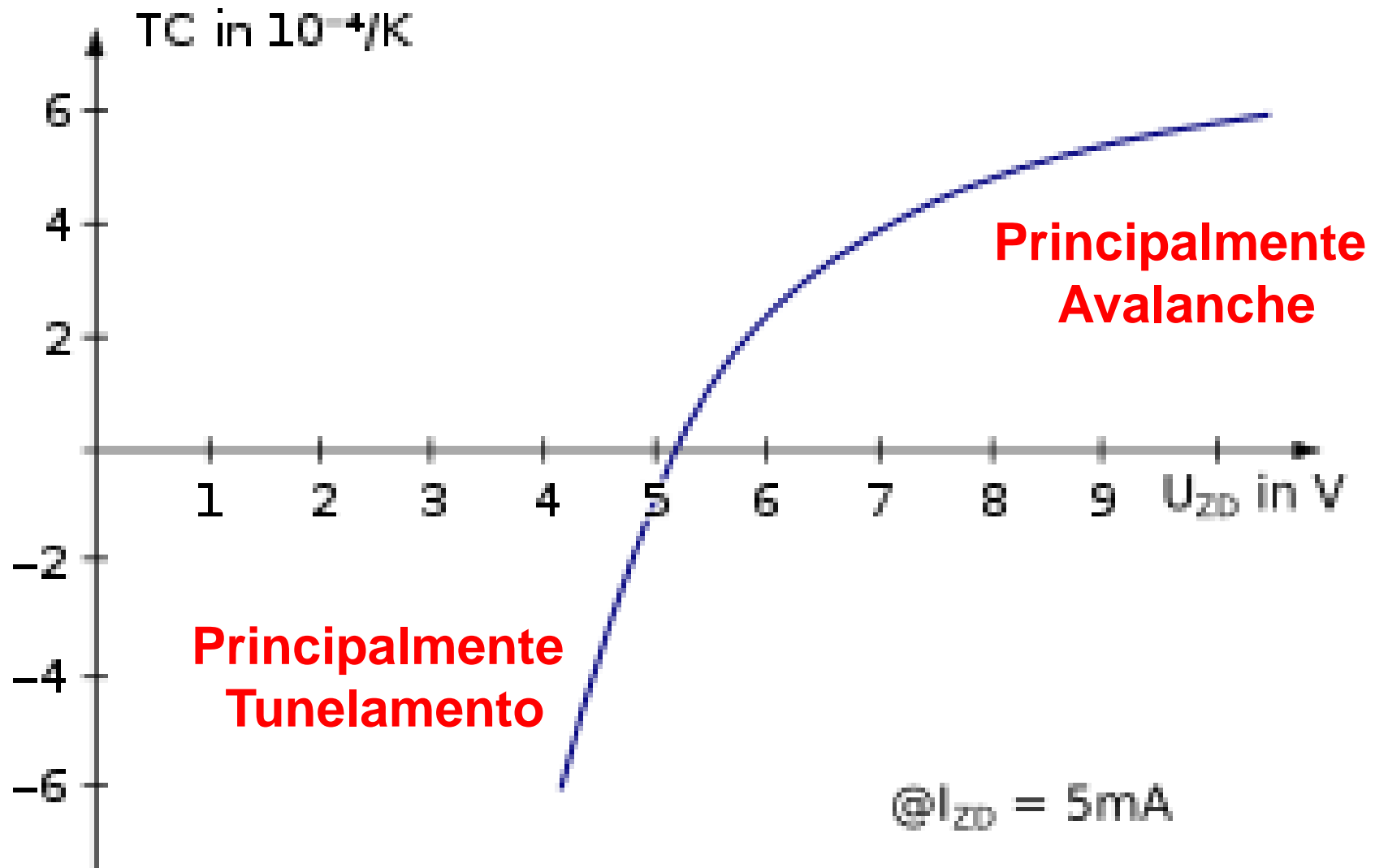


b) Avalanche effect

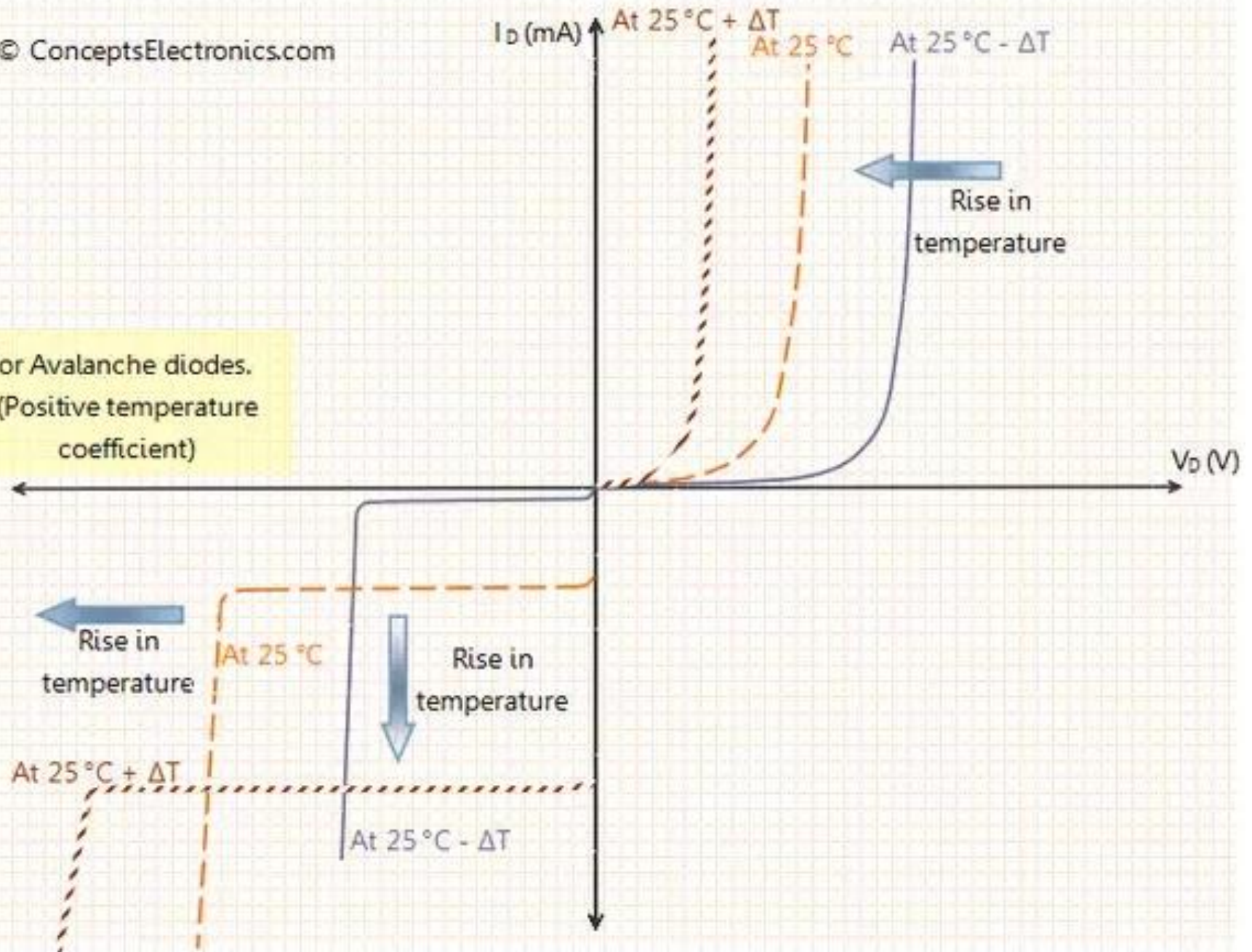
**Polarização Reversa (Terceiro Quadrante)**

# DIODO ZENER

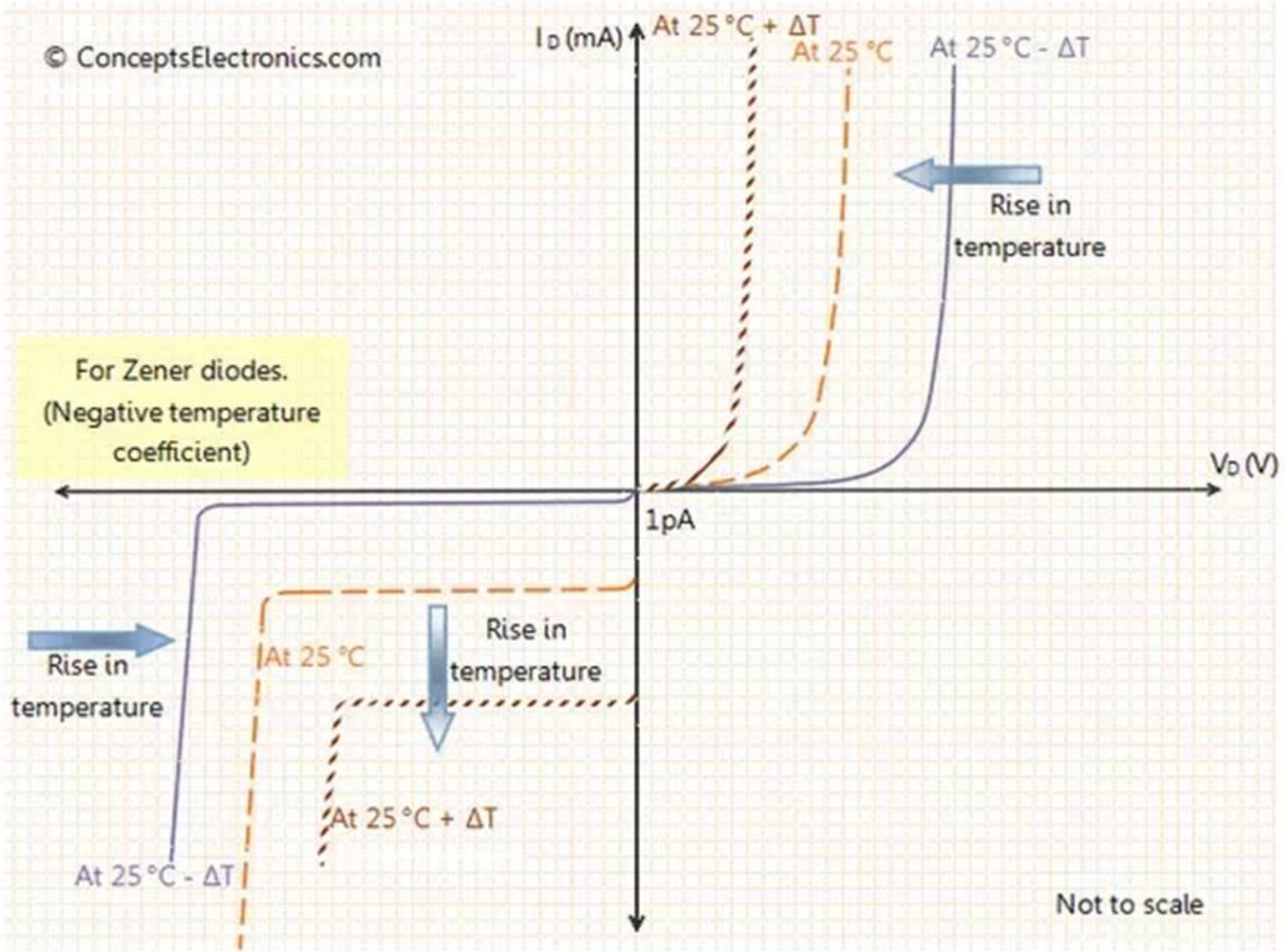
## Coeficiente de Temperatura para a Tensão Zener Reversa



For Avalanche diodes.  
(Positive temperature  
coefficient)



Effect of temperature on avalanche diodes

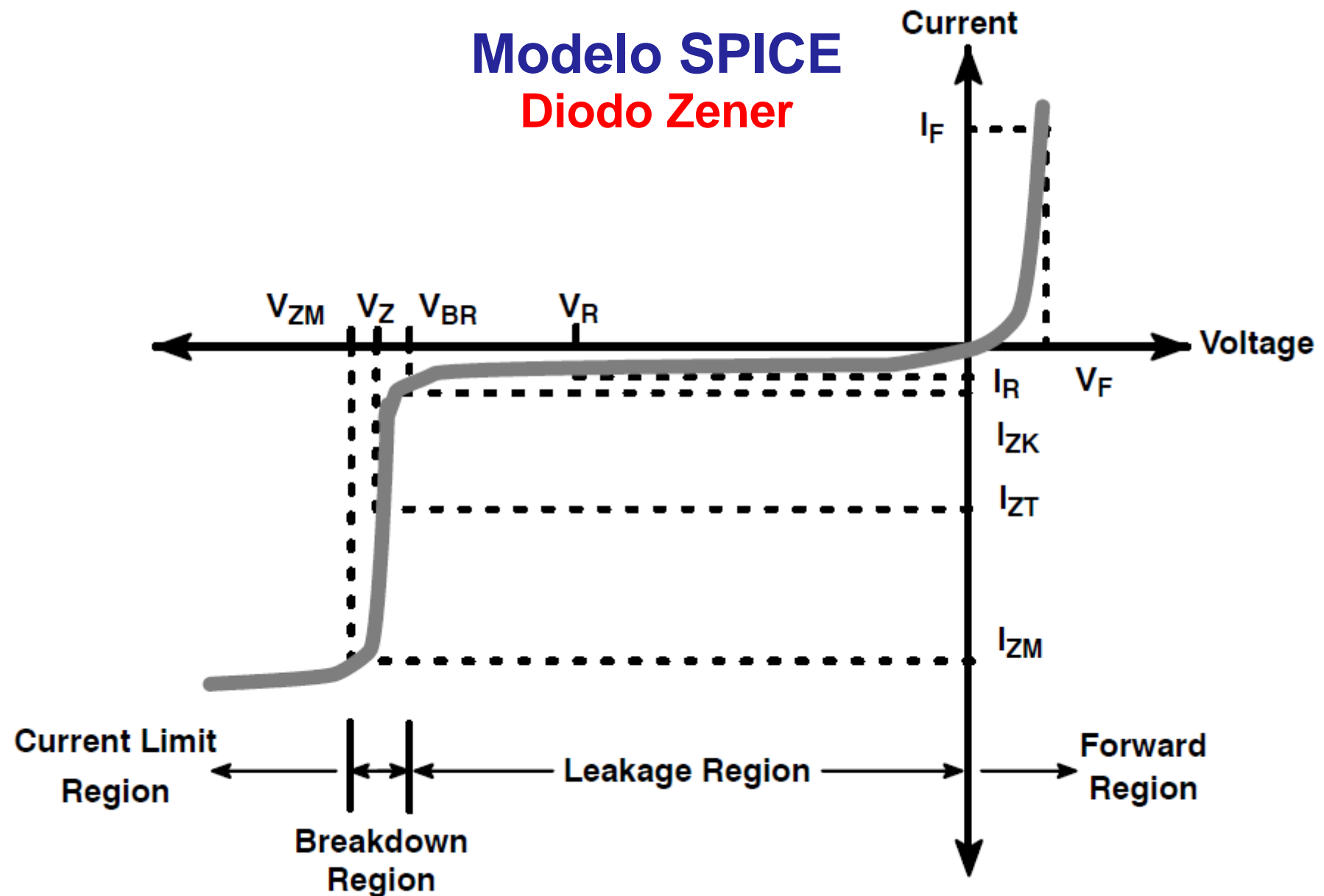


Effect of temperature on zener diodes



# Modelo SPICE

## Diodo Zener



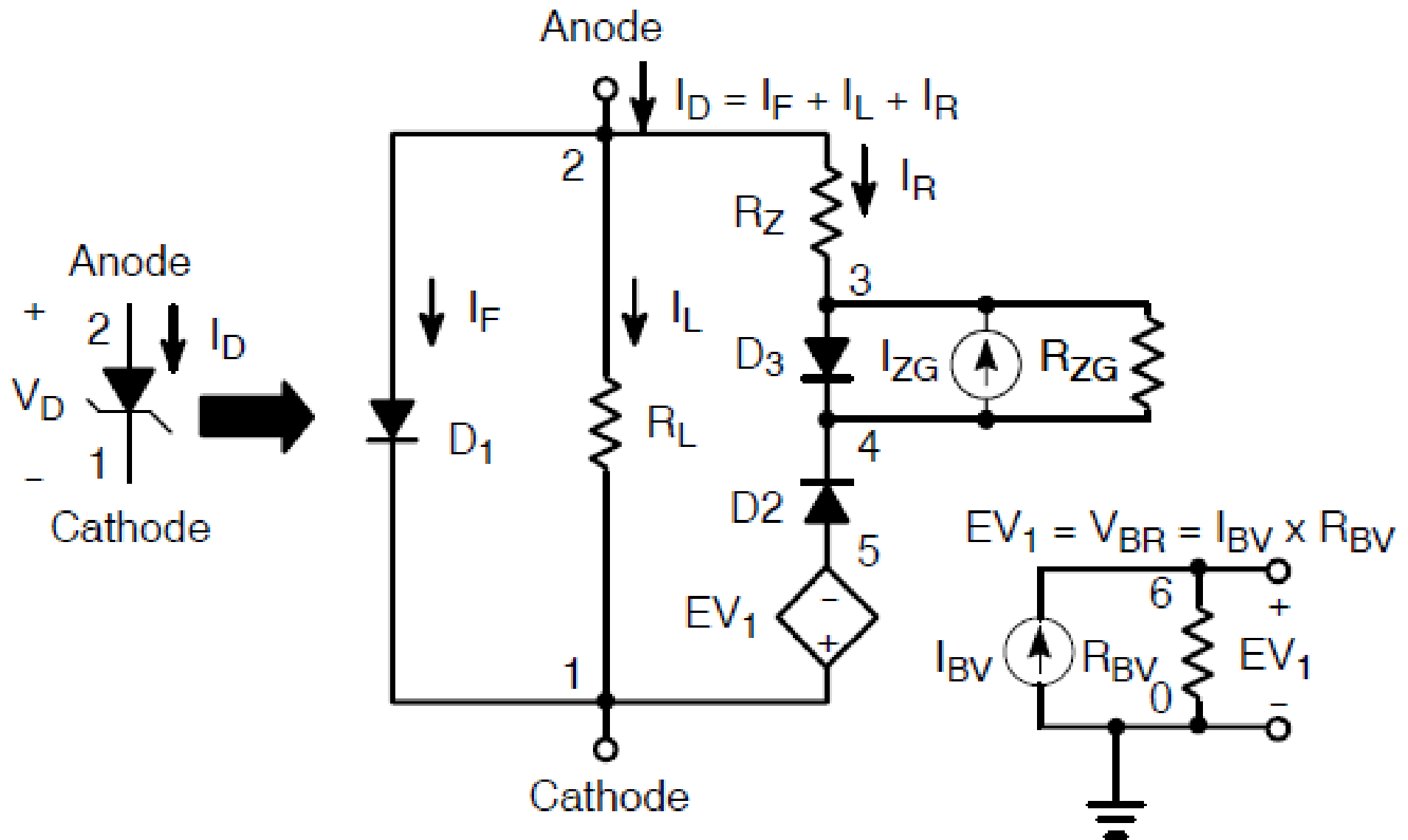
$I_F$  = Forward current  
 $V_F$  = Voltage at  $I_F$   
 $I_R$  = Reverse leakage current  
 $V_R$  = Voltage at  $I_R$   
 $I_{ZK}$  = Test current for voltage  $V_{BR}$

$V_{BR}$  = Voltage at  $I_{ZK}$   
 $Z_{ZK}$  = Dynamic impedance at  $I_{ZK}$   
 $= \Delta V_Z / \Delta I_{ZK}$   
 $I_{ZT}$  = Test current for voltage  $V_Z$   
 $V_Z$  = Voltage at current  $I_{ZT}$

$Z_{ZT}$  = Dynamic impedance at  $I_{ZT}$   
 $= \Delta V_Z / \Delta I_{ZT}$   
 $I_{ZM}$  = Maximum DC steady-state current  
 $V_{ZM}$  = Voltage at  $I_{ZM}$  (typically not defined on the data sheet)

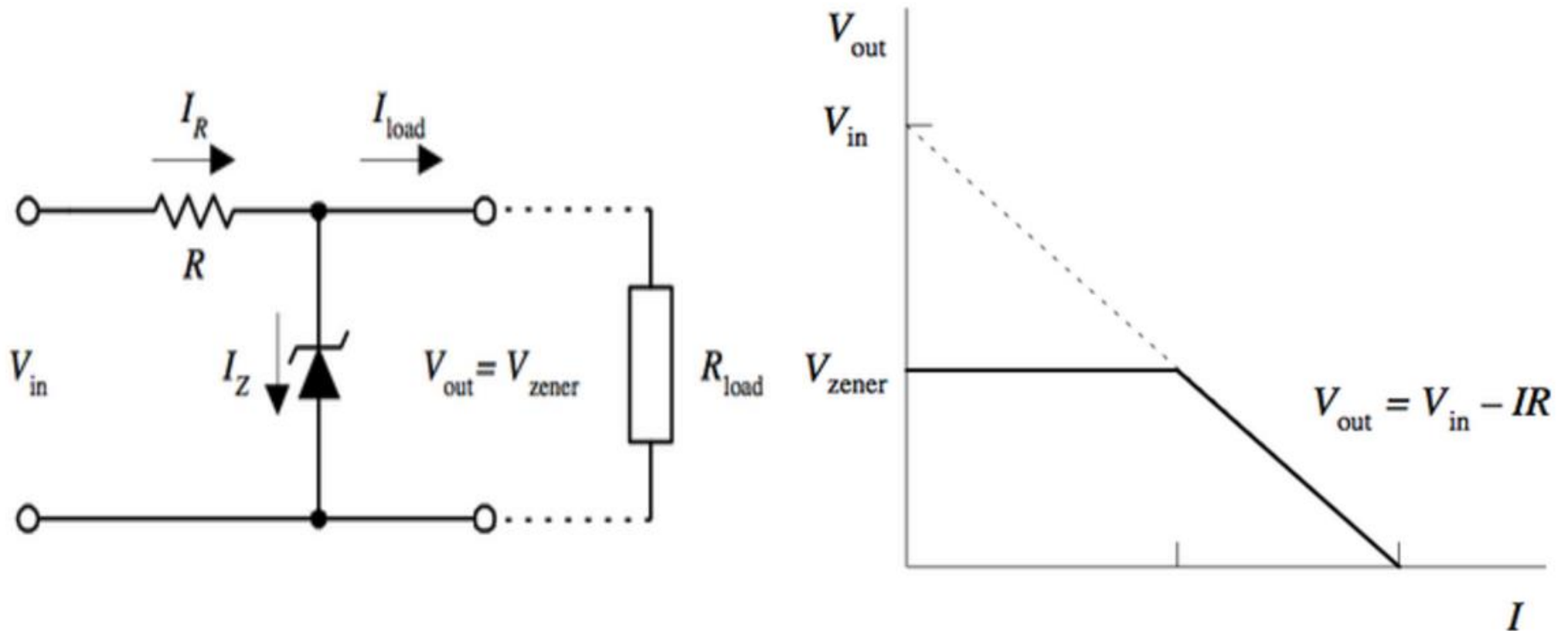
# Modelo SPICE

## Diodo Zener

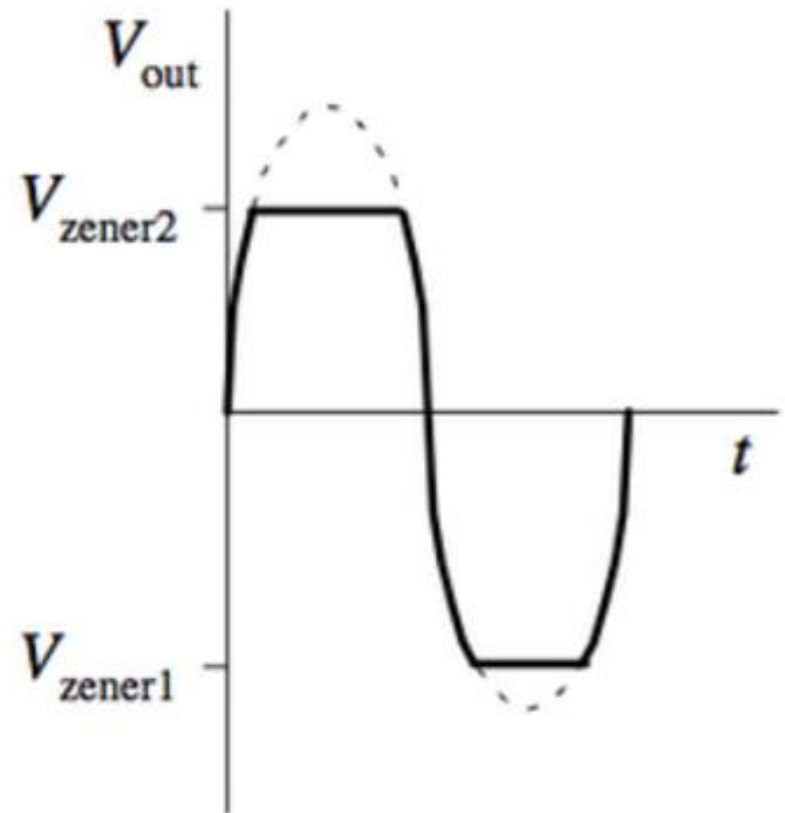
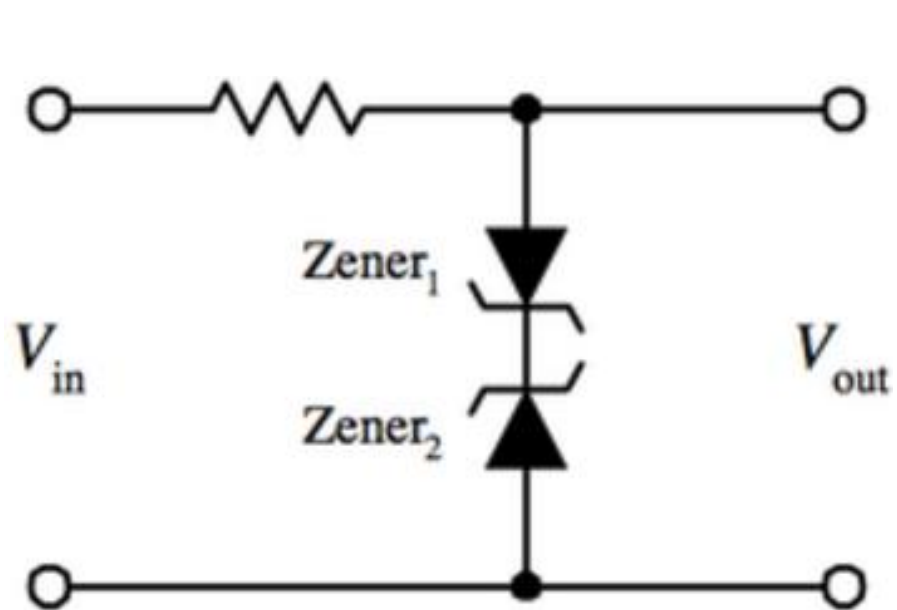




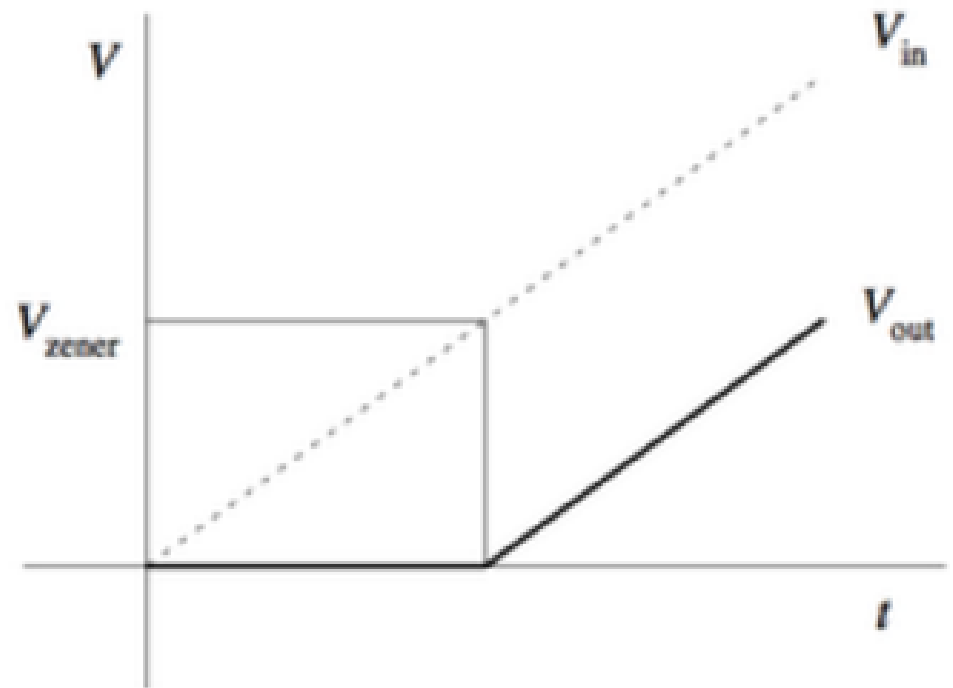
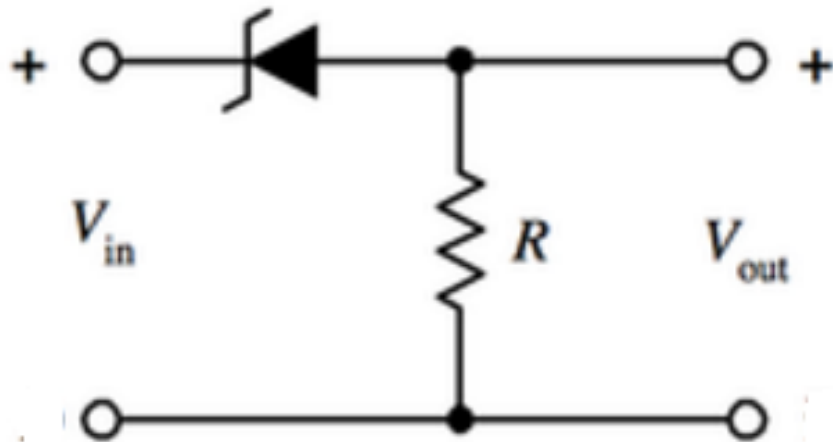
# Fonte de Tensão Regulada com Diodo Zener



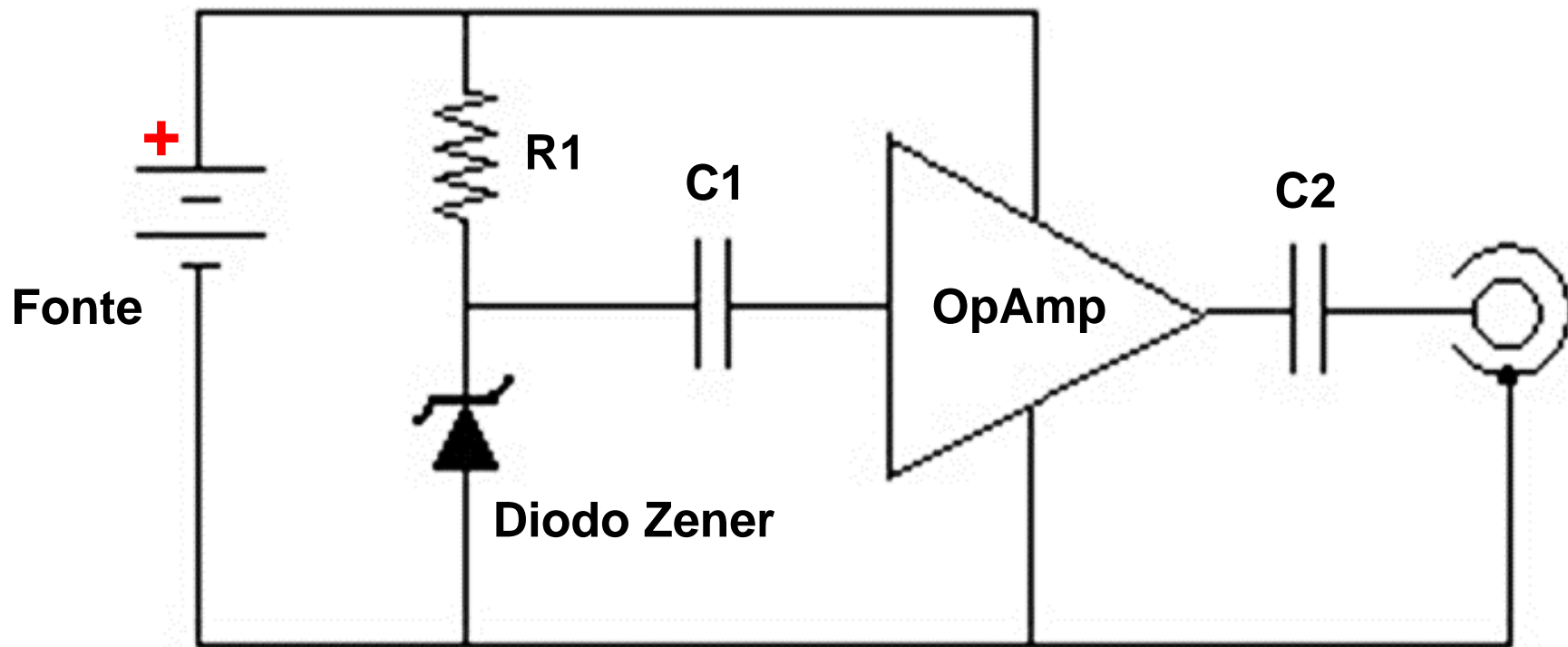
# Circuito *Clipper* de Tensão



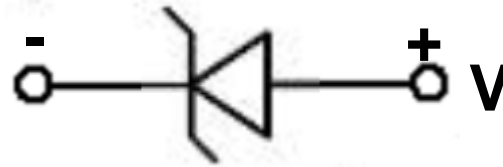
# Circuito Deslocador de Tensão



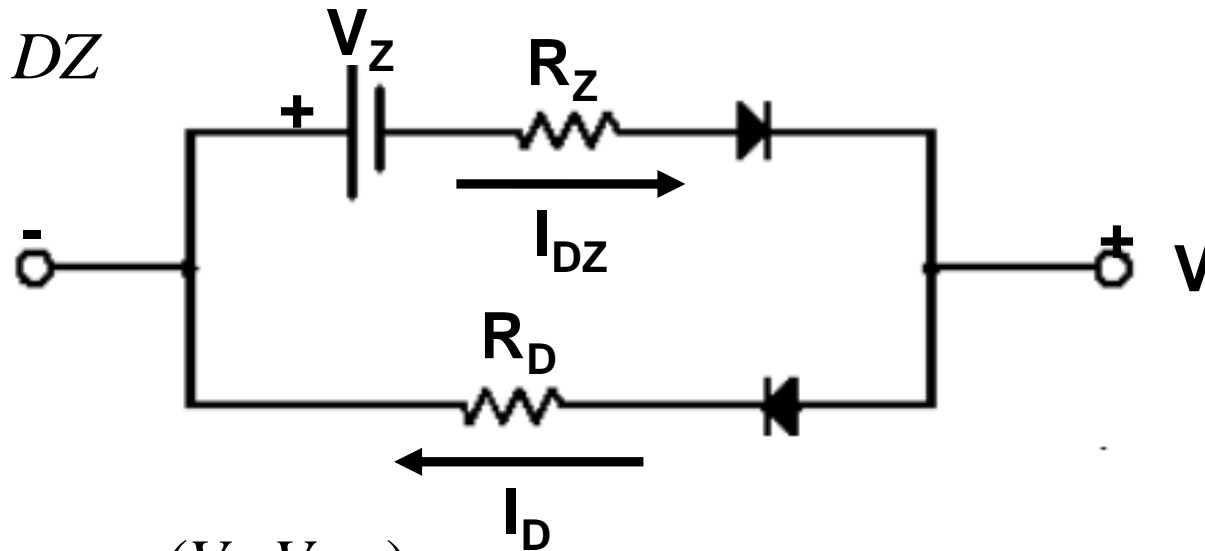
# Circuito Gerador de Ruído de Amplo Espectro



# Modelo Elétrico Simplificado do Diodo Zener



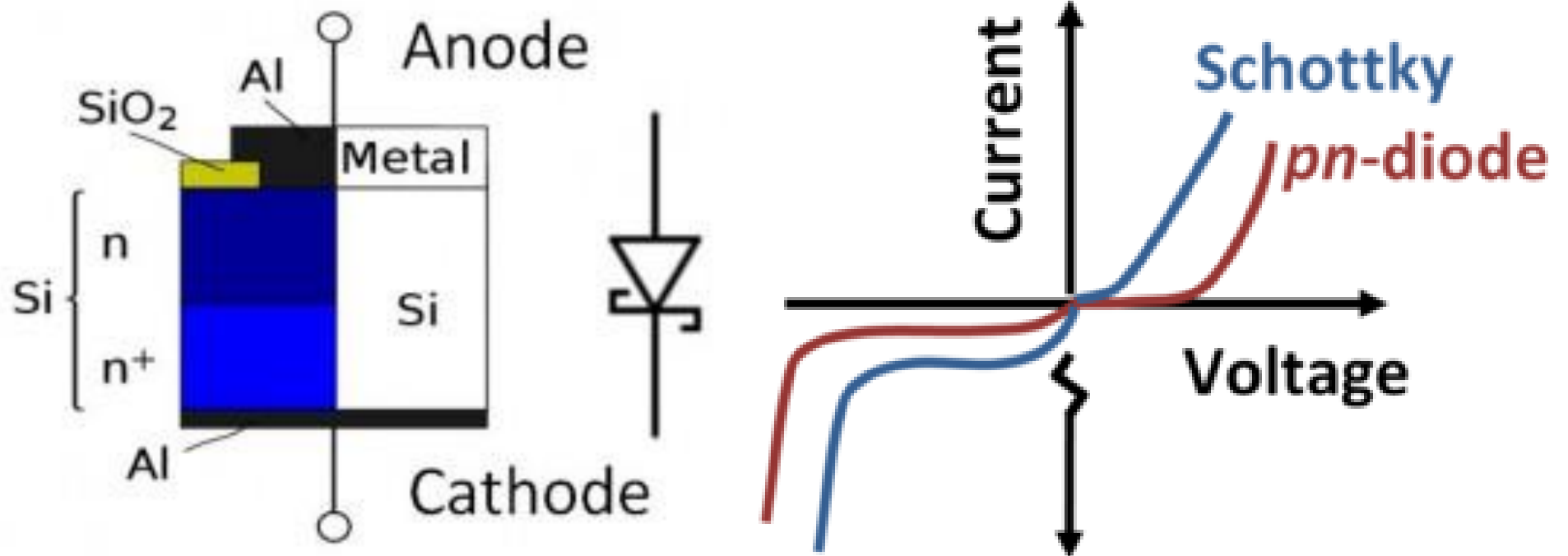
$$I = I_D - I_{DZ}$$



$$I_D = I_{SD} \left( e^{\frac{e(V - V_{RD})}{k_B T}} - 1 \right) \quad V_{RD} = I_D R_D$$

$$I_{DZ} = I_{SDZ} \left( e^{\frac{-e(V + V_Z + V_{RZ})}{k_B T}} - 1 \right) \quad V_{RZ} = I_{DZ} R_Z$$

# Diodo Schottky



<http://ecetutorials.com/analog-electronics/schottky-barrier-diode/>

# Circuito Detector de Envelope

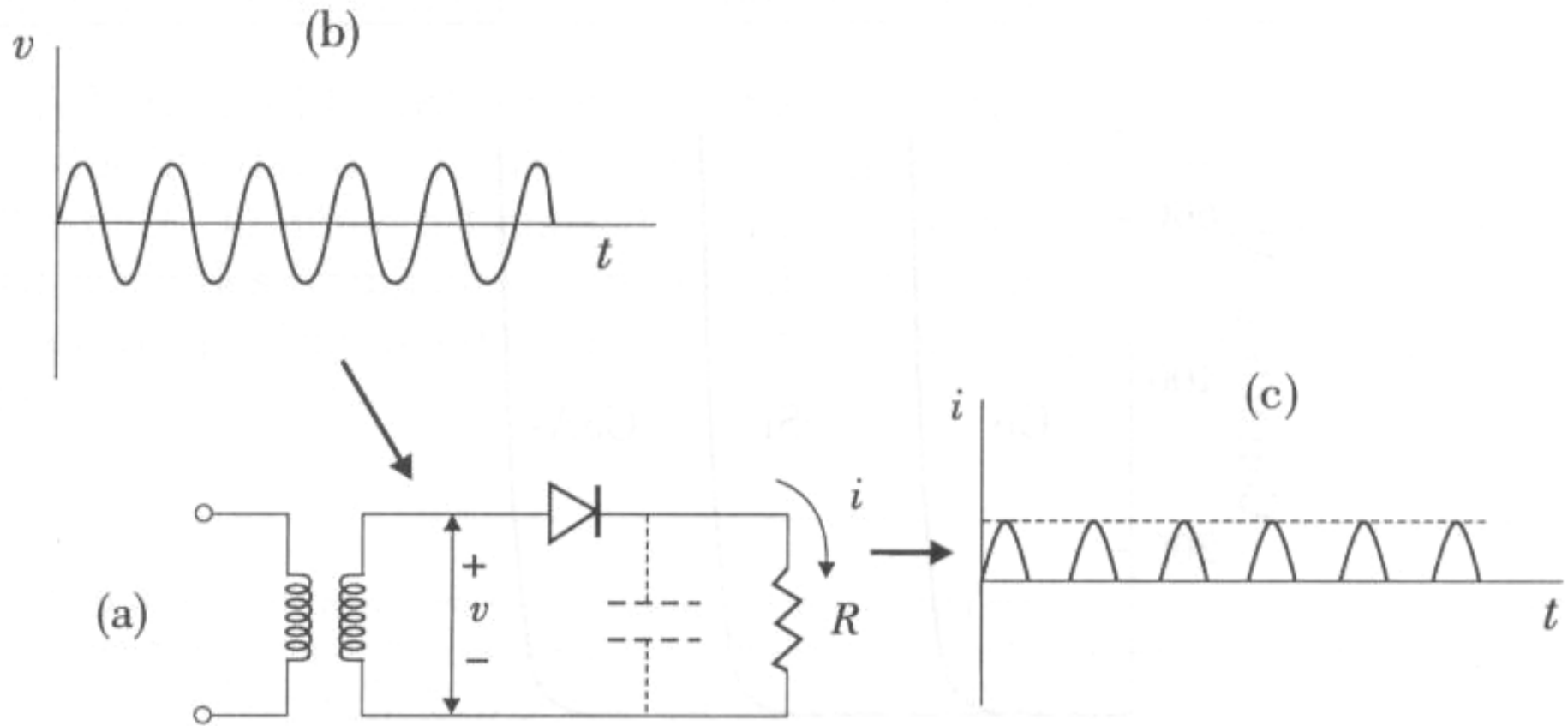


Figura 6.16: Ilustração da operação de um circuito simples retificador de meia-onda. A tensão  $v(t)$  no secundário do transformador resulta na corrente  $i(t)$  no diodo e na carga. A linha tracejada representa a forma de onda obtida com a adição do capacitor ao circuito.

## Rádio a “Cristal”

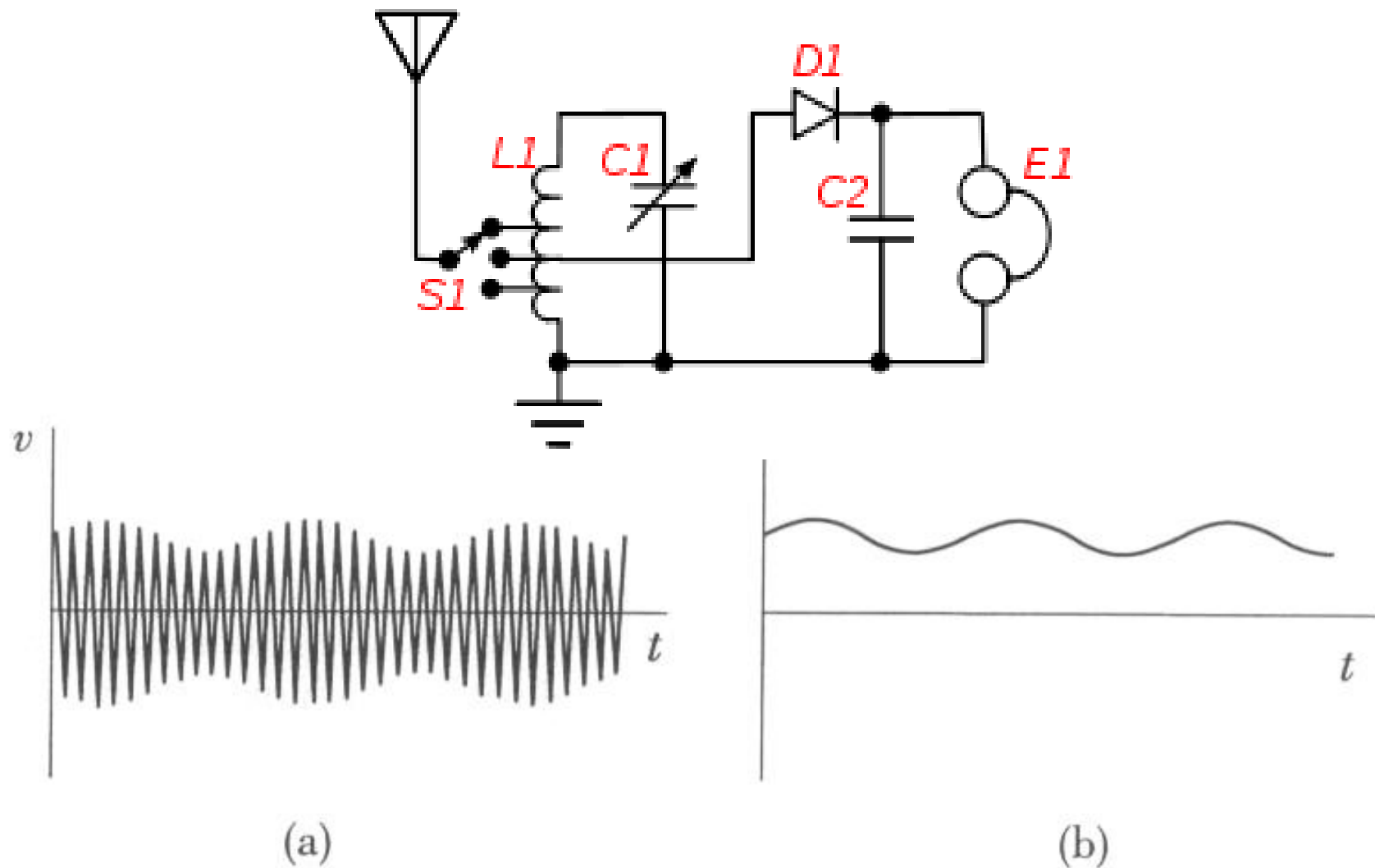


Figura 6.17: a) Onda senoidal de alta frequência modulada por sinal senoidal de áudio. A linha formada pelos valores de pico corresponde ao sinal de áudio. b) Sinal de áudio produzido pelo detetor de pico com diodo.



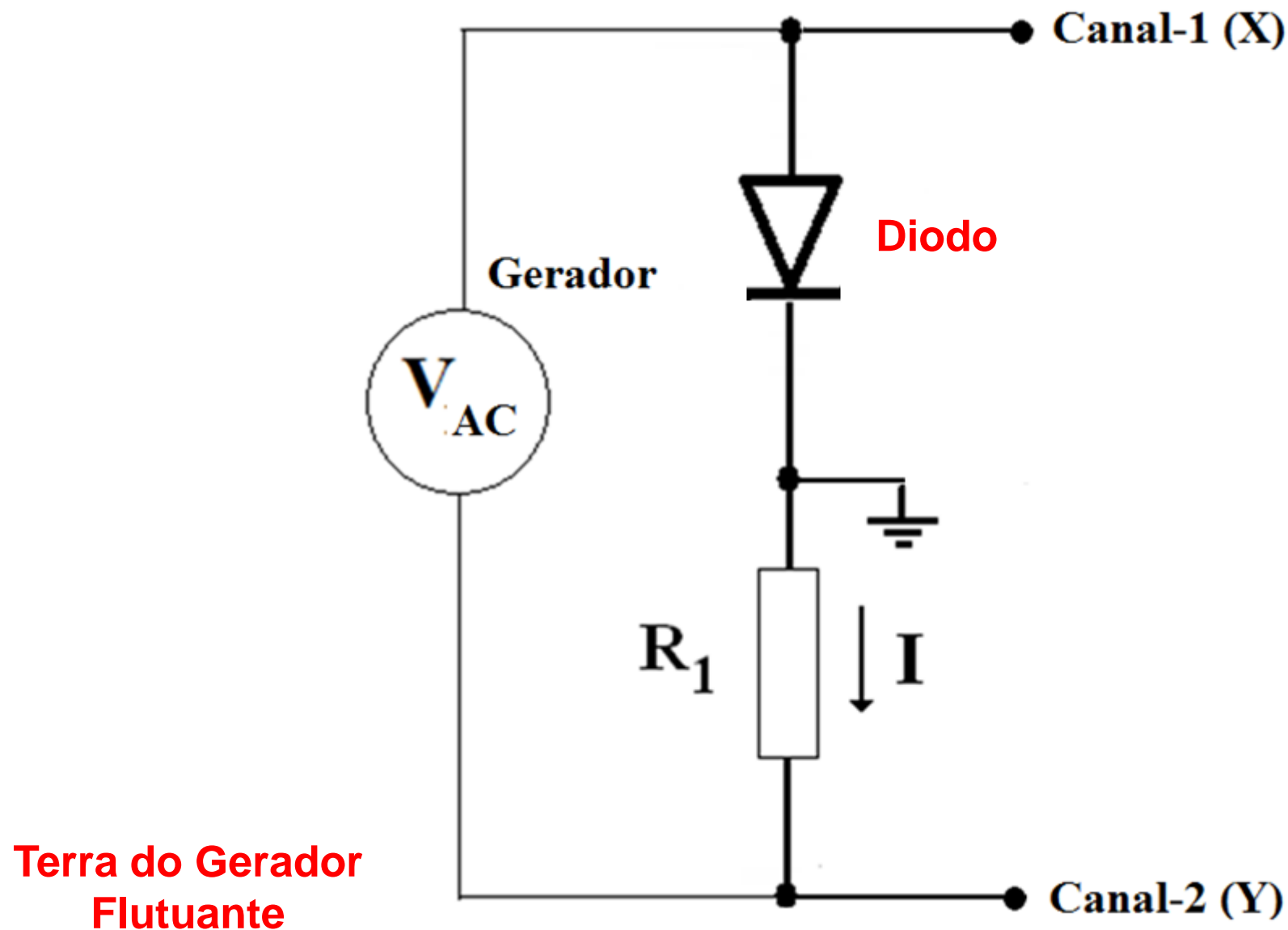
# Galena Crystal Radio



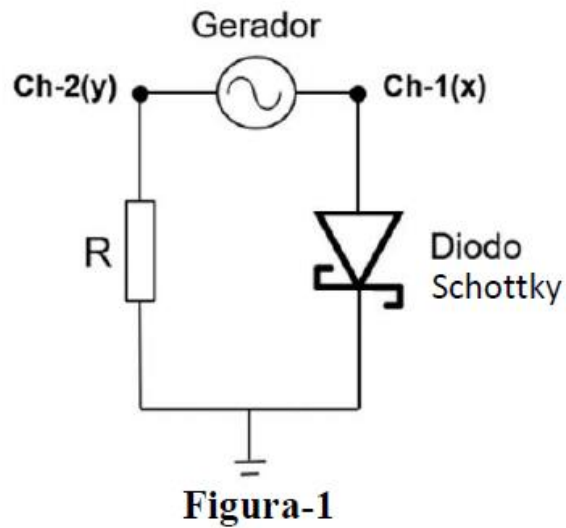
## Foxhole Radio Receiver



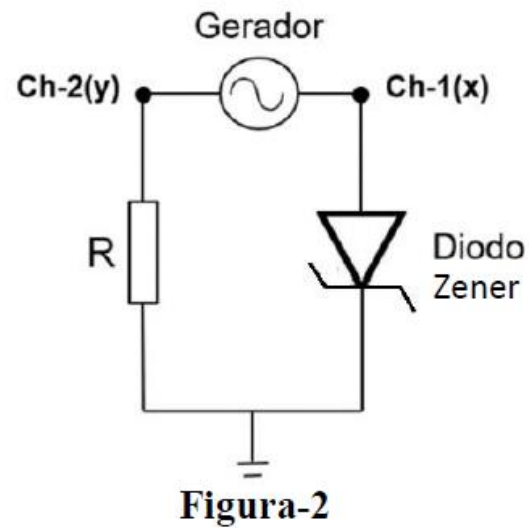
# Circuito Traçador de Curvas I vs. V



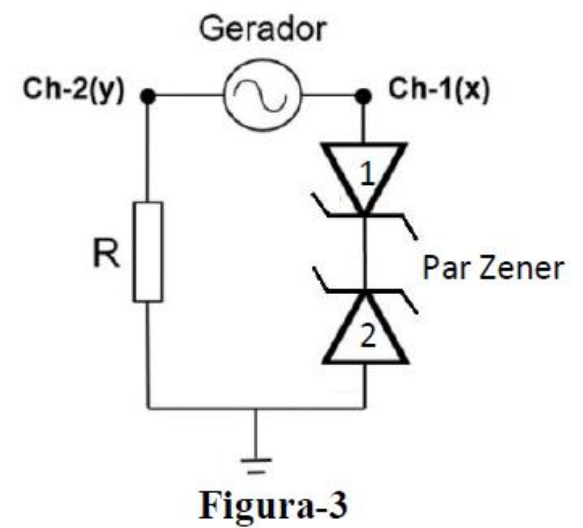
# Circuitos para Plotar as curvas I vs. V no Osciloscópio



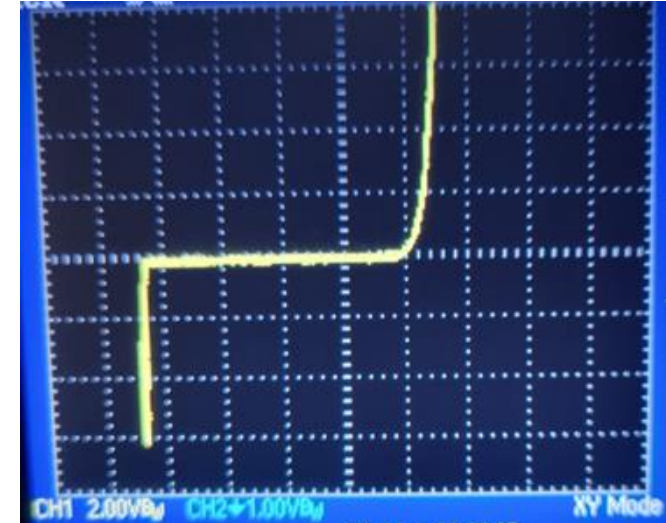
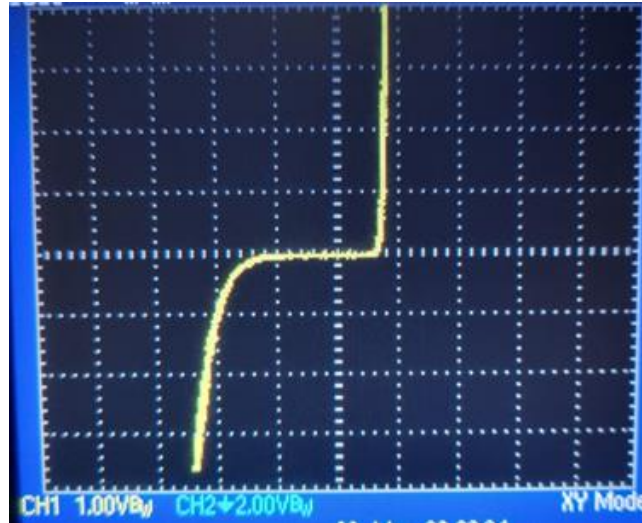
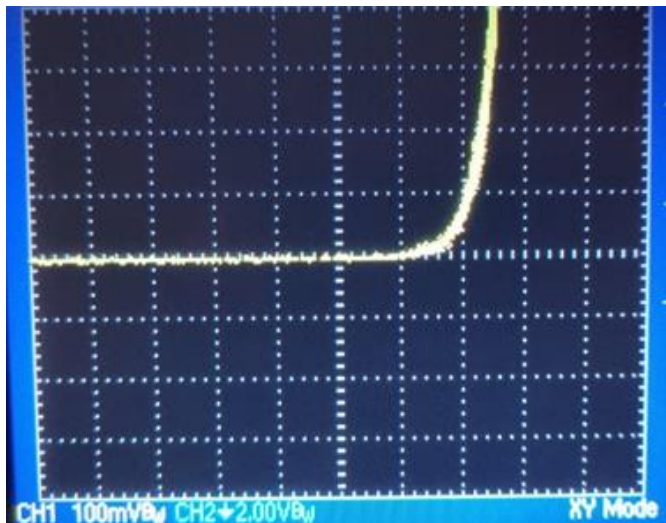
$V_D$   $R_D$   $I_S$



$V_D$   $V_B$   $R_D$   $I_S$

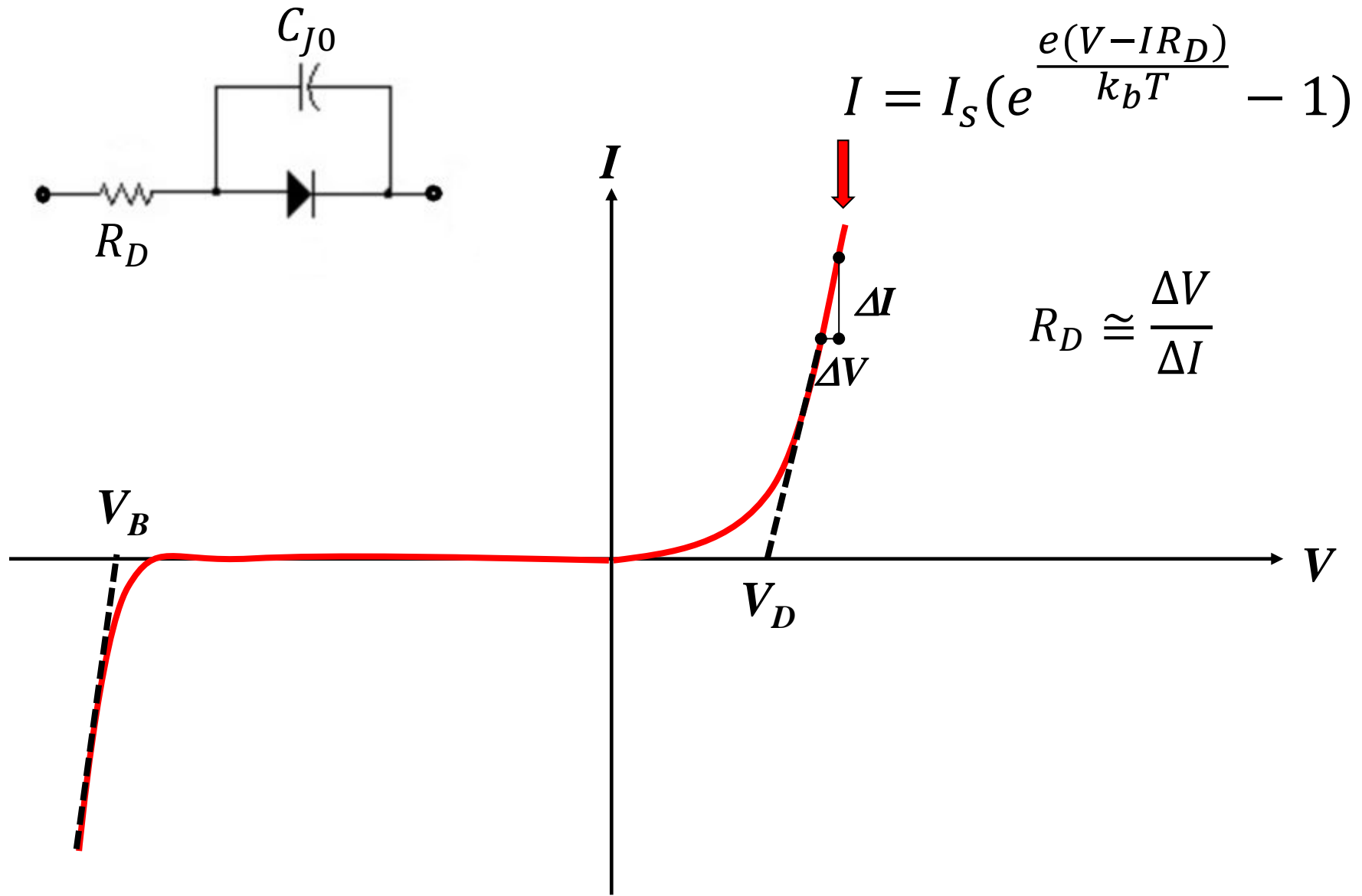


$V_{B1}$   $V_{B2}$

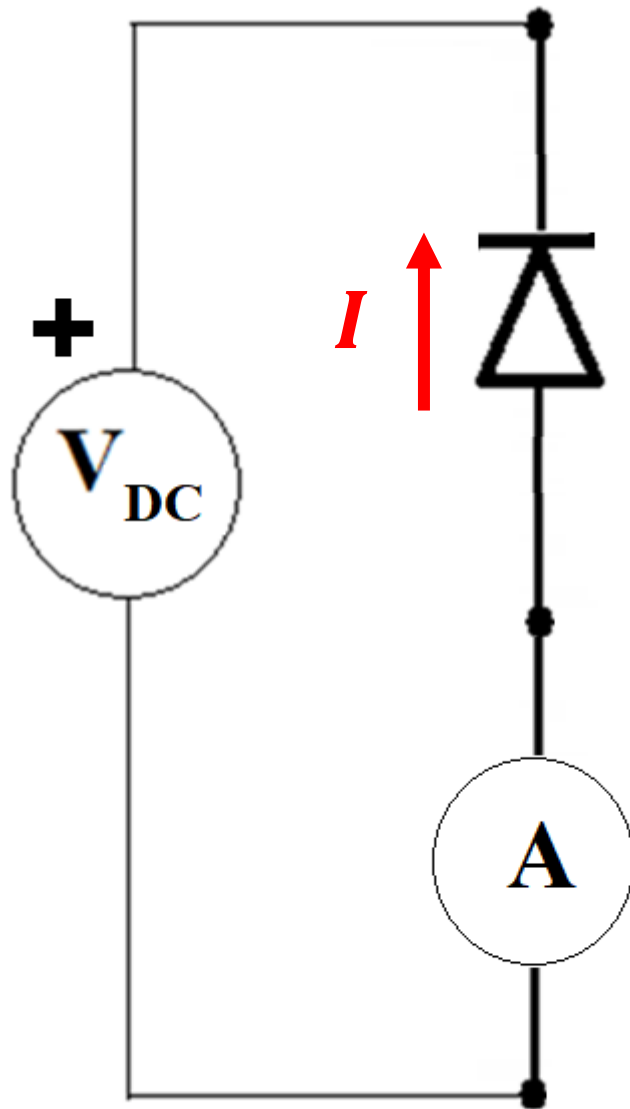




# Extração de Parâmetros das curvas I vs. V do Diodo



# Medida da Corrente de Saturação Reversa



**Diodo**

**Reversamente Polarizado:  $V < 0$**

$$I = I_s \left( e^{\frac{e(V - IR_D)}{k_b T}} - 1 \right)$$

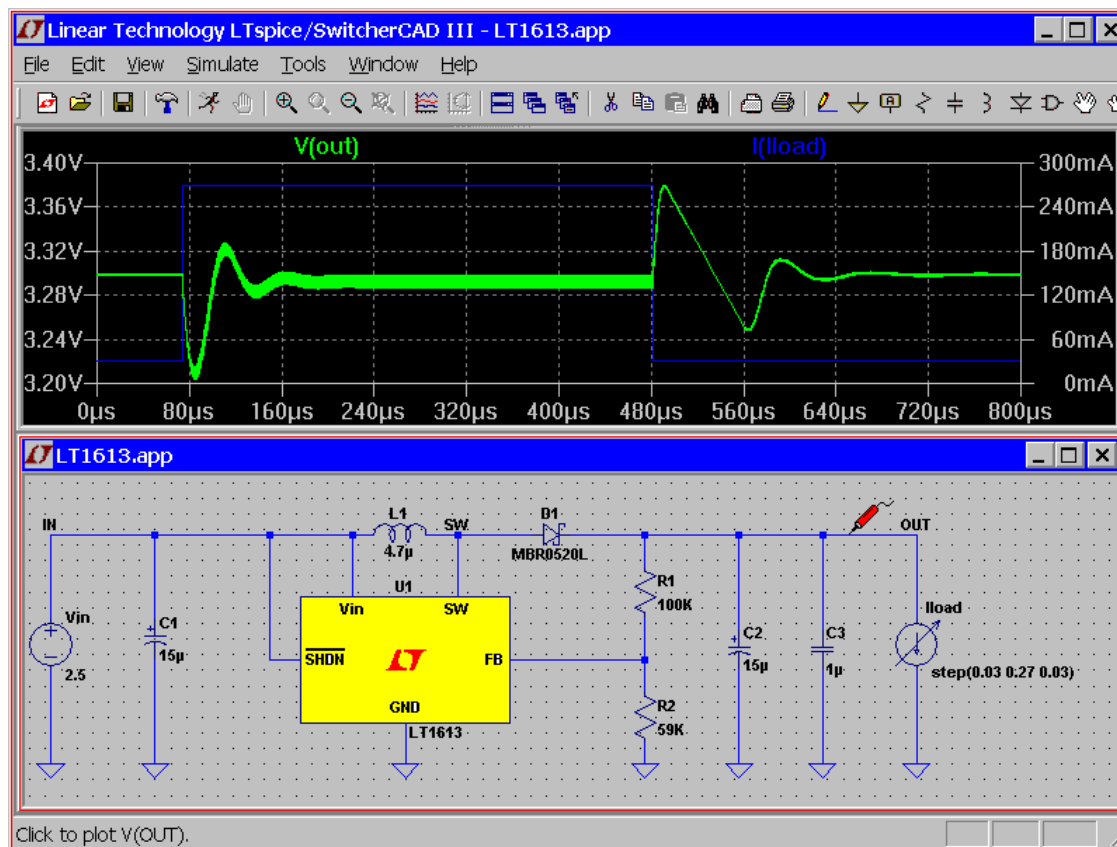
$$I = -I_s$$

**Multímetro Digital**

**Modo: Amperímetro**



# Simulação com LTspice

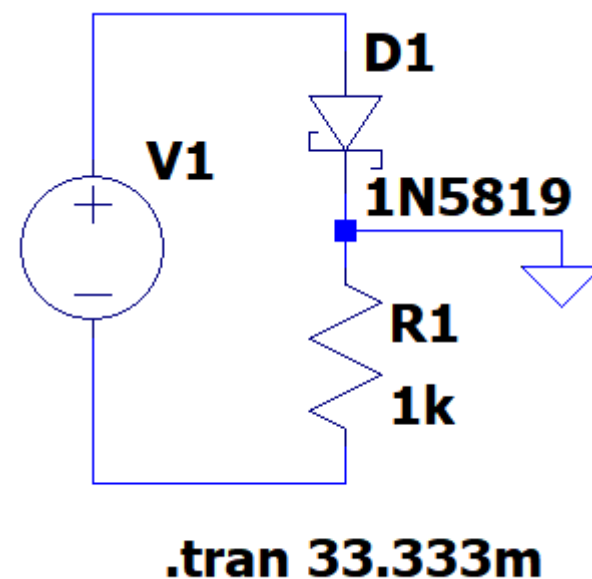
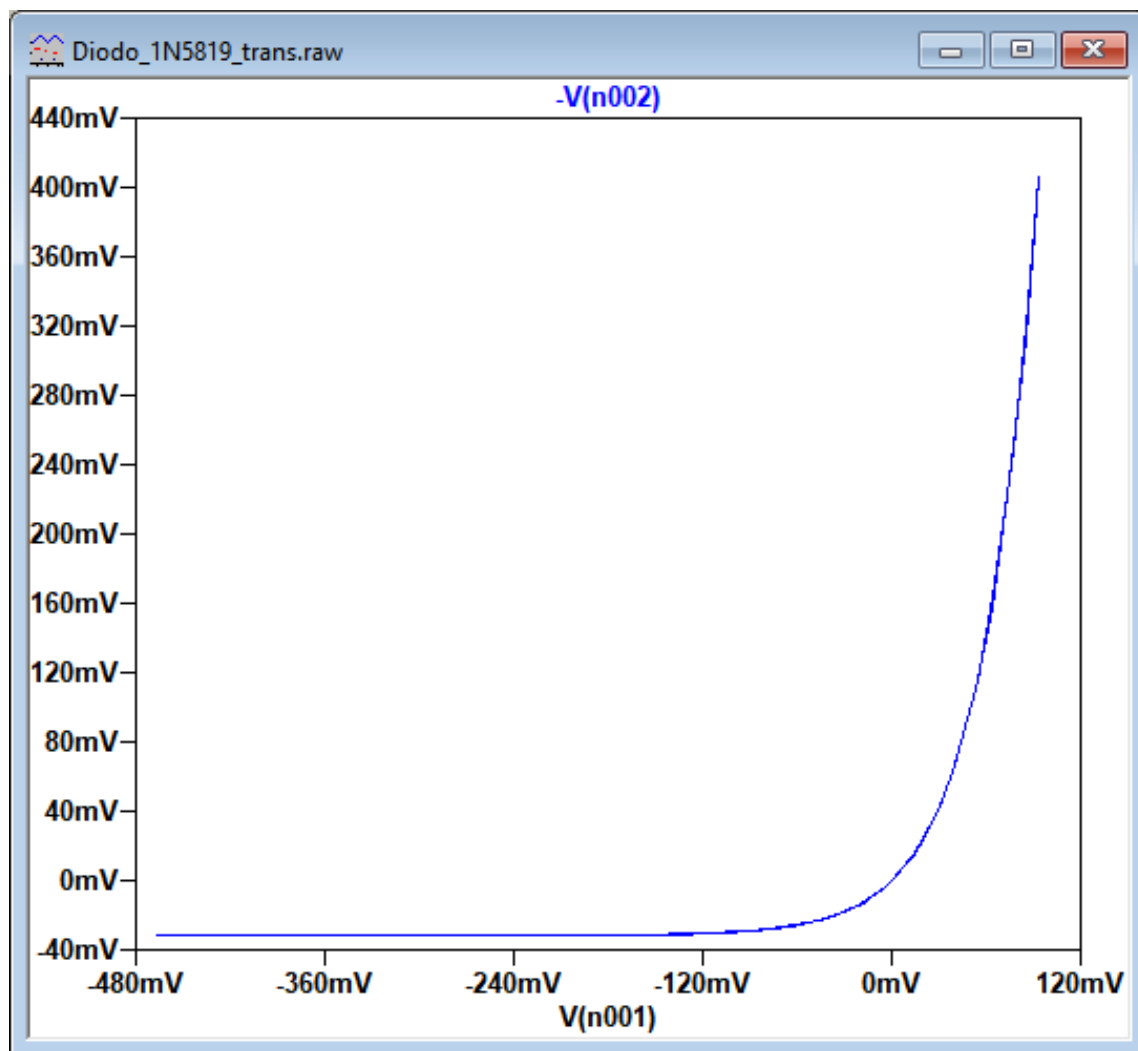


## Instale o LTspice!

<https://www.analog.com/en/design-center/design-tools-and-calculators/ltspice-simulator.html>



# Simulação LTspice: Diodo Schottky 1N5819



```
.model 1N5819 D(Is=31.7u Rs=.051 N=1.373 Cjo=110p M=.35  
Eg=.69 Xti=2 Iave=1 Vpk=40 mfg=OnSemi type=Schottky)
```



**Independent Voltage Source - V1**

Functions

☐ (none)

☐ PULSE(V1 V2 Tdelay Trise Tfall Ton Period Ncycles)

☒ SINE(Voffset Vamp Freq Td Theta Phi Ncycles)

☐ EXP(V1 V2 Td1 Tau1 Td2 Tau2)

☐ SFFM(Voff Vamp Fcar MDI Fsig)

☐ PWL(t1 v1 t2 v2...)

☐ PWL FILE:

DC offset[V]:

Amplitude[V]:

Freq[Hz]:

Tdelay[s]:

Theta[1/s]:

Phi[deg]:

Ncycles:

Make this information visible on schematic: ☐

DC Value

DC value:

Make this information visible on schematic: ☐

Small signal AC analysis(.AC)

AC Amplitude:

AC Phase:

Make this information visible on schematic: ☒

Parasitic Properties

Series Resistance[Ω]:

Parallel Capacitance[F]:

Make this information visible on schematic: ☐

**Edit Simulation Command**

Transient **AC Analysis** DC sweep Noise DC Transfer DC op pnt

Perform a non-linear, time-domain simulation.

Stop time:

Time to start saving data:

Maximum Timestep:

Start external DC supply voltages at 0V: ☐

Stop simulating if steady state is detected: ☐

Don't reset T=0 when steady state is detected: ☐

Step the load current source: ☐

Skip initial operating point solution: ☐

Syntax: .tran <Tstop> [<option> [<option>] ...]

**Diode - D1**

Diode Properties

Diode:

Manufacturer:

Type:

Average Forward Current[A]:

Breakdown Voltage[V]:

$$f = 30[Hz]$$

$$T = \frac{1}{f} = \frac{1}{30[Hz]} = 33.333[ms]$$

